

รายงานวิจัยฉบับสมบูรณ์

โครงการ แบบแผนฟอสฟอร์ตีนในเซลล์เพาะเลี้ยงมะเร็งท่อน้ำดี

โดย นางสาวศิริพร ภัทรกิจก้าว

มีนาคม 2554

รายงานวิจัยฉบับสมบูรณ์

โครงการ แบบแผนพัฒนาชุมชนชั้นนำด้วยมูลนิธิท้องถิ่น

ผู้จัด นางสาวศิริพร ก้าวภิจก้าว
ผู้ช่วย ดร.นิตยา มหาภัย มหาวิทยาลัยราชภัฏ

สนับสนุนโดยสำนักงานกองทุนสนับสนุนการวิจัย

(ความเห็นในรายงานนี้เป็นของผู้จัด สถาปัตย์และนักวิทยาศาสตร์ที่เข้าร่วมโครงการ)

กิจกรรมประจำเดือน

ผู้วิจัยขออภัย สำนักงานกองทุนสนับสนุนการวิจัยและมหาวิทยาลัยขอแก้ไข
หุ่นยนต์ทางน้ำการวิจัย ประจำปีงบประมาณ พ.ศ. 2552 ภายใต้หัวข้อ “ผลกระทบของน้ำท่วมต่อชุมชนชาวอีสาน: การพัฒนาชุมชนวินิจฉัย
มนต์รังสี” ฉบับในอีสาน แหล่งศูนย์เรียนรู้พาร์คไปไม่ในเดียวและมาระเริงท่อน้ำดี ศูนย์แพทยศาสตร์
มหาวิทยาลัยขอนแก่น ที่ให้การสนับสนุนการวิจัย รามคำแหงศูนย์วิจัยและพัฒนาการครรภ์นิจฉัยทาง
ห้องปฏิบัติการทางการแพทย์ คณะเทคโนโลยีการแพทย์ ที่มองเห็นผู้ช่วยวิจัยให้เก่งนางสาวนพทิรา ฉันเนห์ ใน
หลักสูตรวิทยาศาสตร์มหาบัณฑิต สาขาวิทยาศาสตร์การแพทย์ คณะแพทยศาสตร์มหาวิทยาลัย
มหาวิทยาลัยขอนแก่น

ผู้วิจัยขออภัย รองศาสตราจารย์ ดร. ไสวศิริ วงศ์คำ นักวิจัยที่ปรึกษา ที่สนับสนุนการเข้าข่ายอ้าง
ทุนพัฒนาศักยภาพในการทำงานวิจัยของอาจารย์รุ่นใหม่ หลังจากผู้วิจัยเพิ่งสำเร็จการศึกษาระดับปริญญา
เอก ปี พ.ศ. 2551 โดยหน้าที่วิจัยที่ปรึกษาให้การสนับสนุนวัสดุยกภาระ สารานุกรมที่จำเป็น การใช้ห้องสมุดทำวิจัย
อันเป็นประโยชน์ในการส่งเสริมงานวิจัย และนักวิจัยที่ปรึกษาถึงเป็นตัวอย่างที่ดีของคนวิจัย ซึ่งเป็นความ
ภาคภูมิใจอย่างยิ่งของผู้วิจัย

ขอขอบคุณวิจัย ดร.สิทธิรักษ์ ยอดธนะกุล แหล่งเรียนการสอนสถาบันวิจัย ศูนย์พัฒนาวิศวกรรมและ
เทคโนโลยีชีวภาพแห่งชาติ จังหวัดปทุมธานี ที่ให้ความช่วยเหลือในการทำงาน ขออภัยด้วยนักศึกษาทุกคนที่
ต้องใจหายและให้ความร่วมมือให้เราผลลัพธ์ไปด้วยดี

ขอขอบคุณ รองศาสตราจารย์ ดร. ชัยศรี วงศ์คำ แหล่งเรียนการสอนวิชาเคมี คณะแพทยศาสตร์,
ศูนย์วิจัยพยากรณ์ไม่แน่นอนแมลงมดเรืองหน้าดี คณะแพทยศาสตร์ มหาวิทยาลัยขอนแก่น, บุคลากรของกลุ่มวิชา
เคมีคลินิก, รองศาสตราจารย์ ดร. เต็มดาว สิมไพบูลย์ และบุคลากรศูนย์วิจัยและพัฒนาการครรภ์นิจฉัย
ทางห้องปฏิบัติการทางการแพทย์ คณะเทคโนโลยีการแพทย์ มหาวิทยาลัยขอนแก่น ที่เอื้อเฟื้อสถานที่ อุปกรณ์
และสนับสนุนให้เราจัดทำในภารกิจจนสำเร็จลุล่วง แหล่งเรียนการสอนที่ดีที่สุด ที่เจ้าตัวขออภัยที่
ที่เจ้าตัว แต่ผู้วิจัยจะขอถือว่าได้รับความตื่นเต้นที่เกิดขึ้นจากองค์ความรู้ที่ได้จากการวิจัยที่ได้รับ
นำเสนอท่าน ที่ได้อ่านมาได้รับอิฐภูมิใจให้ด้วยอย่างต่างๆ ในการวิจัยครั้งนี้

บทคัดย่อ

รหัสโครงการ: MRG5280033

ชื่อโครงการ: แบบจำลองฟองโซโนกราฟชีวภาพเชิงมหภาคเพื่อการติดตามและประเมินผลการเปลี่ยนแปลงของสารเคมีในพืช

ชื่อผู้วิจัยและสถาบัน: นางสาวศิริพร กัททิกิจกานต์ มหาวิทยาลัยขอนแก่น

E-mail Address: sirpat@kku.ac.th

ระยะเวลาโครงการ: 2 ปี

มะเร็งท่อน้ำดีเป็นปัญหาสาธารณสุขที่สำคัญ และจำพากองประชากรภาคตะวันออกเฉียงเหนือ การตรวจวินิจฉัยทางห้องปฏิบัติการยังไม่พบว่ามีสารร่วงเข้าไปในเรืองที่เหมาะสม สำหรับกลุ่มของปะรดที่ถูกเก็บใหม่ไฟฟ้าในกระบวนการ Post-translational modifications ที่จะถูกเรียกว่า ฟอสฟอโปรตีน (Phosphoproteins) ถูกพบว่ามีความสำคัญในกลไกการทำงานของเซลล์เมะเรืองท่อน้ำดี วัดโดยรังสีคิริฟ์ สนใจที่จะศึกษาพอลิโซโนโนรีดินที่ถูกสร้างในเซลล์เพาะเลี้ยงมะเรืองท่อน้ำดี อาทิ KKU-M213 โดยประเมินโดย กัมเบตส์พะเสี้ยงท่อน้ำดี MMNK1 โดยตัวอย่างจะถูกอยู่ในฟอร์ม Phosphatase inhibitors และตัวอย่างที่ได้จะถูกนำมาแยกเก็บฟอสฟอโปรตีน ด้วย SwellGel[®] Gallium-Chelated Disc. จากนั้นฟอกฟูโรเดซีโนกรามด้วย Trypsin ที่ถูกได้เป็น Phosphopeptides และนำตัวมาเจือก LC-MS/MS จากนั้นวิเคราะห์ผลโดย DeCyderTM MS 2.0 differential analysis software พยอย่างน้อย 37 phosphopeptides ที่แตกต่างกันอย่างมีนัยสำคัญ ($p < 0.05$) และความแตกต่างของแบบจำลองฟองโซโนกราฟชีวภาพที่ได้จากการทดลอง 2DE-western blot กับแบบจำลองที่ได้จากฟองโซโนกราฟชีวภาพต่อฟองโซโนกราฟ โปรดติดตามข้อมูลที่ได้อ่านในส่วนต่อไป เพื่อนำมาพัฒนาการตรวจหาแบบจำลองร่างกายต่อไป

คำหลัก: ฟอสฟอโปรตีน, มะเร็งท่อน้ำดี

Abstract

Project Code: MRG5280033

Project Title: Phosphoprotein patterns of Cholangiocarcinoma cell lines

Investigator: Miss Siriporn Patrakitkomjorn

E-mail Address: sirpat@kku.ac.th

Project Period: 2 years

Phosphorylation is an important post translational modification of proteins. Modified proteins called phosphorylated proteins are associated with pathways that regulate cancer cells. Phosphorylated proteins that modulate activities of those proteins become more interesting to be the specific markers for this cancer. We objected to study the differential profiling of phosphorylated proteins in cholangiocarcinoma cell lines and used immortalized MMNK1 cells as control. To purify phosphorylated proteins, treated cell lysates were subjected into SwellGel[®] Gallium-Chelated Disc. Eluted phosphorylated proteins were reduced, alkylated, and digested with trypsin, consequently identified with LC-MS/MS. DecyderTM MS 2.0 differential analysis software was used for visualization, detection, comparison, and relative quantitation of LC-MS/MS data. In this study, all data was analyzed as two-dimensional intensity maps. In cholangiocarcinoma cell line, at least 37 phosphopeptides showed an average difference of 2 times ($p < 0.05$). The differentiations of phosphorylated protein profiles in label-free cells may be used as potential markers for cholangiocarcinoma.

Keywords: Phosphoproteins, Cholangiocarcinoma

四

มูลนิธิที่ทำให้เป็นปัญหาสามารถสร้างให้จิตใจของคนรักษาดีขึ้น ไม่ใช่เรื่องท่อน้ำเส้นที่เกิดขึ้นในบ้านไทย มีสมุดฐานะของโรคที่แตกต่างจากคนในประเทศไทยจะประทับใจและประทับใจในประเทศไทยได้มากกว่า ดังนั้นขออภัยและขออธิบายว่า “สุขภาพ” ได้จากการศึกษาวิจัยในชนชาติดื่น จึง “สมส่วน” สำหรับคนในประเทศไทยมากกว่า ยุคปัจจุบันผู้นำประเทศที่ดีที่สุดในประเทศไทยได้พยายาม จัดการความเจ็บปวดอย่างที่ดีที่สุด จึงเป็นความจำเป็นอย่างยิ่งที่นักวิจัยไทยต้องศึกษาข้อมูลพื้นฐานและมองความรู้ที่เกี่ยวกับประเทศไทยท่องหน้าไปในอนาคต

การตรวจสอบของที่จำเป็นต่อโภคในระยะเริ่มแรก
จะอย่างไรก็ตามที่สำคัญที่สุดคือการวินิจฉัยหรือ^๑
ประเมินความเสี่ยงที่อาจส่งผลกระทบต่อสุขภาพของบุคคลนั้นๆ ให้ได้ถูกต้องแม่นยำ^๒ แต่ในส่วนของการประเมินความเสี่ยงนี้ ไม่ใช่เรื่องง่ายที่จะดำเนินการได้โดยง่าย ดังนั้น จึงต้องมีการพัฒนาเครื่องมือที่สามารถช่วยให้ผู้เชี่ยวชาญสามารถประเมินความเสี่ยงได้แม่นยำและรวดเร็ว ซึ่งในปัจจุบันมีเครื่องมือที่ใช้ในการประเมินความเสี่ยงอย่างแพร่หลาย เช่น แบบสอบถาม ที่มีหัวข้อต่างๆ ที่เกี่ยวข้องกับสุขภาพ รวมถึงประวัติทางครอบครัว ประวัติทางการแพทย์ ประวัติทางชีวภาพ และประวัติทางเคมีภารต ฯลฯ ที่จะช่วยให้ผู้เชี่ยวชาญสามารถตัดสินใจได้แม่นยำมากยิ่งขึ้น อย่างไรก็ตาม ความแม่นยำของเครื่องมือที่ใช้ในการประเมินความเสี่ยงนี้ ยังคงเป็นปัจจัยที่สำคัญไม่น้อย ดังนั้น การพัฒนาและปรับปรุงเครื่องมือเหล่านี้อย่างต่อเนื่อง จึงเป็นสิ่งที่สำคัญยิ่ง สำหรับการให้คำแนะนำและสนับสนุนแก่บุคคลที่มีความเสี่ยงต่อสุขภาพ ให้สามารถตัดสินใจได้ดีขึ้น ลดความเสี่ยง และเพิ่มโอกาสในการรักษาสุขภาพที่ดีให้กับตัวเอง

ปัจจุบัน ยังไม่มีการตรวจนิรภัยทางห้องปฏิบัติการที่มีประสิทธิภาพในการตรวจจับเม็ดเรืองก่อให้เกิดความไว (sensitivity) และความจำเพาะ (specificity) ที่สูงมากพอ จากการวิจัยเบื้องต้นของผู้จัดฯ ในการประเมินที่ยอมแบบโนร์ดิกของศรีรัตน์ ป่วงป่ายมะเร็งหลอดเลือดดำในคนปกติ โดยเทคนิคทางปรดิโอมิคส์ ผลลัพธ์ได้รับการยืนยันจากศูนย์ฯ สถาบันมะเร็งแห่งชาติ ว่าสามารถตรวจพบเม็ดเรืองก่อให้เกิดความไวและจำเพาะได้ดีมาก

กัลลุ่มโปรตีนบางชนิด ซึ่งมีลักษณะความเดาต่างที่อาจเกิดจาก post-translational modification (PTM) เช่น phosphorylation, glycosylation กะบماหากการดึงส่วนความสำเร็จในกลไกการดำเนินโรคของมะเร็งหลายชนิดรวมทั้งมะเร็งห้องน้ำได้ อย่างไรก็ตามกลุ่มฟอสฟอสฟอริตินที่ถูกสร้างและปล่อยออกมายังเซลล์เริ่งโดยตรง หรือก็คือจากสิ่งแวดล้อมต่าง ๆ ที่แสดงถึงภัยคุกคาม เป็นผลให้การนำฟอสฟอริตินเหล่านี้มาเป็นตัวมังสีภาระมหันต์เรื่องความจำเพาะต่อ ดังนั้นการศึกษากลุ่มฟอสฟอริตินที่สร้างหรือหล่อออกมายังเซลล์พวยเสี้ยงมีผลเริ่งใหญ่ต่อการรักษาให้หายดี แม้จะได้รับการหาแนวทางเพื่อผู้คนได้วางรากฐานที่จำเพาะได้ ดังนั้นโภณการวิจัยสืบมีว่าด้วยสังเคราะห์ศักยภาพแบบของฟอสฟอริตินไม่หล่อเลี้ยงเรื่องที่ทำให้ต้องรีบเริ่ม two dimensional gel electrophoresis และประเมินภัยคุกคามที่เกิดขึ้น ผลที่ได้จากการศึกษาพยาเสธอย่างท่อหน้าดีโดยวิธี ผลการศึกษาด้านของการเป็นแนวทางเข้าสู่ต้นในการพัฒนาตัวเอง เช่น เว็บท่อหน้าดีแล้ว ยังเป็นข้อเสนอแนะที่น่าสนใจในการศึกษาเชิงลึกได้มาก รวมทั้งการติดตามในกระบวนการ interaction ที่เกิดจากภาระหนี้สัมภาระหรืออย่างอื่นที่มีผลต่อฟอสฟอริตินในกลุ่มฟอสฟอริติน (protein identification and categorization) เพื่อศึกษา protein-protein interaction ที่เกิดจากภาระหนี้สัมภาระหรืออย่างอื่นที่มีผลต่อฟอสฟอริตินในภาวะ

เป็นการตรวจหาสัญญาณ (signal transduction) ที่จำเพาะต่อมะเร็งท่อน้ำดี ซึ่งสามารถนำข้อมูลลงกล่าวมาพัฒนาเป็น marker ในการตรวจวินิจฉัยมะเร็งท่อน้ำดีอย่างจำเพาะมากขึ้นใน การวินิจฉัยมะเร็ง (phase) ต่อไป

วัสดุและสื่อของโครงการ

- ตัวอย่างแบบแสดงผลโดยประจุไฟฟ้าเชิงที่วิเคราะห์ต่อมะเร็งท่อน้ำดีโดยใช้ภาระไฟฟ้า (phage assay) ท่อน้ำดีปกติ โดยเทคโนโลยีทางป้องกันไวรัส

ประโยชน์หรือคาดว่าจะได้รับ

- องค์ความรู้ใหม่เกี่ยวกับกระบวนการ phosphorylation และฟอสฟอร์จิโนทิสฟัฟฟ์ริกาเมธอลล์มายเร็ว ห่อหน้าดี
- ความรู้เบื้องต้นเพื่อวิจัยต่อยอดในการพัฒนาฟอสฟอร์จิโนทิสฟัฟฟ์ริกาเมธอลล์มายเร็ว ผู้ป่วยต่อไป
- เผยแพร่ผลงานวิจัยในการประชุมวิชาการและการตีพิมพ์ในวารสารวิชาการ
- พัฒนาการเรียนการสอน และสร้างนักวิจัยใหม่

ผลงานวิจัยที่เกี่ยวข้อง (Literature review) และเอกสารอ้างอิง

ฟอสฟอร์จิโน (phosphoprotein) เป็นโปรตีนที่เกิดจากกระบวนการ modification (PTM) โดยการเติมหมู่ฟอสฟูติกกรดอะมิโน serine, threonine หรือ tyrosine การเติมและตัดหมู่ฟอสฟูติกกรดอะมิโน “เข้ม” protein kinase และ phosphatase ตามลำดับ กะรพยายามการ phosphorylation เป็นกลไกที่สำคัญในการควบคุมการทำงานของเซลล์ การเจริญเติบโต การproliferation, differentiation และ apoptosis เป็นต้น ปัจจุบันมีการนิยามน้ำคาวมรักษาภัยที่เกี่ยวกับการแสวงหาของยาและโปรดีไซด์ จนเป็นมาตรฐานที่ใช้เป็น marker ในการวินิจฉัย รักษากำลังติดตามผลการรักษาของมะเร็งพลาบรนิด มีการศึกษาจำนวนมากเกี่ยวกับ tyrosine phosphorylation ไม่ว่าจะเป็นเพื่อให้เป็น drug target การศึกษา tyrosine kinase และ substrate เพื่อประโยชน์ด้าน tumor marker และการศึกษา substrate ของ serine/threonine kinase เพื่อความคุ้ม cell signaling (1) เป็นต้น แต่ยังไม่มีการศึกษาใดที่ใช้ “การติดหูกิจกรรมเคมีผ่านทาง PTM โดยเฉพาะ phosphorylation” (1) เป็น marker ในการวินิจฉัยมะเร็ง ปัจจุบันมีรายงานเกี่ยวกับตัวอย่าง protein kinase ประมาณ 518 ชนิด และประมาณ 100 ชนิดเป็น tyrosine kinases ซึ่งมากกว่า 50 เปรอร์เซ็นต์ของ tyrosine kinase มีความเกี่ยวข้องกับสาเหตุของการเกิดมะเร็งในมนุษย์ พบว่าในกระบวนการพัฒนาของมะเร็งในตัวบุคคลนั้นความมีความแยกต่างกันในการทำงานของกลุ่ม protein tyrosine kinase และ protein tyrosine kinase substrate ข้อมูลเหล่านี้ได้ถูกนำมาใช้เป็น

เพิ่มมาในภารพัฒนาอย่างรักษาและเร่งเหล่ายานิด เป็น Herceptin (trastuzumab) ให้กับชากการรักษาของ ErB2 receptor tyrosine kinase หรือ ERBB2 (2)

ପାଦବୀ କରିବାକୁ ପାଇଁ ଏହା କିମ୍ବା ଏହାକୁ କରିବାକୁ ପାଇଁ ଏହା କିମ୍ବା

การศึกษาการใช้การก่อมะเร็งท่อน้ำดีที่เยื่อห้องคัมภีร์ไก่ PTM และ phosphorylation พยายามส่องกลไกมีความสัมพันธ์กับกระบวนการก่อมะเร็งท่อน้ำดี เช่น พยายากัดน้ำดี (bile acid) สามารถกระตุ้น phosphorylation ของ epidermal growth factor receptor (EGFR) และพิมพ์การแสดงออกของ cyclooxygenase-2 (COX-2) โดยผ่านการกระตุ้นของ MAPK p42/44 และ p38 โดยอาศัยกลไก phosphorylation (6) นอกจากนี้ยังพบว่า phosphorylation ของ cytosolic phospholipase A2 (cPLA2) มีไฟ hepatocyte growth factor (HGF) และ interleukin 6 (IL-6) เห็นยานำให้เกิดการก่อมะเร็งท่อน้ำดี (7) การ arachidonic (AA) และการผลิต prostaglandin (PG) ซึ่งมีผลต่อการเติบโตของมะเร็งท่อน้ำดี (7) การเห็นยาน้ำ PG โดย COX-2 สามารถกระตุ้น phosphorylation ของ Akt (phospho-Akt (Thr (308)) ซึ่งเป็น protein kinase ที่เกี่ยวข้องกับการเจริญเติบโตของมะเร็งท่อน้ำดี (8) จากรายงานต่าง ๆ จึงกล่าวทำให้ทราบว่า phosphorylation เป็นกลไกที่สำคัญในระบบการสื่อสารและ การควบคุมของเซลล์มะเร็งท่อน้ำดีอย่างไรก็ได้ การศึกษาการเปลี่ยนแปลงของพ่อพ่อในตัวน้ำดี จึงเป็นการศึกษาแบบแผนพ่อพ่อในเซลล์ ที่ทางบกกลไกการควบคุมการดำเนินชีวิตจะดำเนินไปโดยไม่เกิดผลกระทบใด ๆ ที่ทำให้เกิดมะเร็งท่อน้ำดี จึงเป็นการศึกษาแบบแผนพ่อพ่อในเซลล์ที่ทำให้เกิดมะเร็งท่อน้ำดี

วิธีการทดลอง

1. การศึกษาแบบแผนพอกสเปกตริฟิโนไฮดรอล์เพาะเลี้ยงต่ำๆ พาดหัวอ่อนไหว

- เซลล์เพาะเลี้ยงมะเร็งท่อน้ำดี
ได้รับการสนับสนุนจากเซลล์พากเพียรเลี้ยงมะเร็งท่อน้ำดีซึ่งมีต่อต้านการเจริญพวยพาไว้ไม่ตั้งแต่แรกเริ่งท่อน้ำดี คณภาพยาสาร์ มหาราชยาลัยขอนแก่น ศูนย์วิจัยพยาบาลโรคต้อตาน้ำดี ขนาดทดลองต่างๆ ที่บังพัฒนาโดย รศ.ดร. บรรจุณ ศรีกา ลี เป็นการสนับสนุนจากเซลล์พากเพียรเลี้ยงมะเร็งท่อน้ำดี ขนาดทดลองต่อต้านการเจริญพวยพาไว้ไม่ตั้งแต่แรกเริ่งท่อน้ำดี
- การเดรีเยมตัวอย่างเซลล์พากเพียรเลี้ยงมะเร็งท่อน้ำดี
ลีเยงเซลล์เพาะเลี้ยงมะเร็งท่อน้ำดีในอาหารสืบเชลล์ HAM-F12 ใน 10% fetal calf serum สำดิ โปรตีนทั้งหมดจากการเซลล์เพาะเลี้ยงและเก็บตู้ -20°C เพื่อใช้ครั้งต่อไป
- การวินิจฉัยปริมาณโปรตีน

วิเคราะห์ปริมาณโปรตีนโดยใช้รักข้อง Lowry

- การแยกโปรตีนด้วยเทคนิค 2-DE
แยกวิเคราะห์โปรตีนจากเซลล์เพาะเลี้ยงท่อน้ำดี โดยในมิคโรจัลวิฟรี isoelectric focusing electrophoresis (IEF) โดยผสมกับสารละลายที่ปรุง改良ด้วย urea และ dithiothreitol (DTT) แยกโปรตีนในรีม (100 μg) โดยใช้ IPG-strip ที่มี pH gradient 3-10 pH unit และให้กราฟฟิคผ่านเจล ใน waveshell ที่ 400, 600 และ 1000 volt ใน 30, 30 และ 60 นาที ตามลำดับ จากนั้นแยกโปรตีนบนเจลจะถูกวิเคราะห์ในมิคติ 2 โดย SDS-PAGE ใช้ polyacrylamide gel linear gradient 7.5-10% และย้อมแคนทรัสด้วยวิธี silver staining และ phosphoprotein staining
- การวิเคราะห์แบบแผน 2-DE ด้วยคอมพิวเตอร์
แบบแผน 2-DE ที่ได้จะถูกนำหานำมาตรวจสอบโดยใช้ 2-DE Gel Analysis Software

2. การค้นเสือกแบบแผนพอกสเปกตริฟิโนไฮดรอล์เพาะเลี้ยงต่ำๆ พาดหัวอ่อนไหว

2.1 การเตรียมตัวอย่าง

- แยกเสือก cancer cells และ MNMK1 cells ใน 15-cm cell culture dishes ด้วย serum-free medium จำนวนหนึ่งกิโลกรัม secreted proteins โดยใช้ Amicon Ultra-15 tubes (molecular mass cutoff 3 kDa)
- นำเซลล์รูปผู้ชายหรือคนปกติ บริษัท 50 μM โพรีเมตอร์ ผสมกับ phosphate buffer (20 mM phosphate buffer pH 7.4, 0.5 M NaCl pH7.4) บริษัท 50 μM โพรีเมตอร์ เดเมลล์สในเม็ด bead ที่มี chelating ligands แบบ metal irons free ให้ติดกับ metal ions ที่ต้องการ ต่อ Fe³⁺ ที่มีประจุบวกและมีอ

นำเข้าโปรแกรมกับตัวอย่างสีรุ้งที่มี phosphorylated proteins ที่มีประจุลบิกูลาเรติก complex ล้างส่วนเกินด้วย washing buffer (50 mM sodium phosphate buffer pH 6, 300 mM NaCl, 7 M Urea) และแยกกิ่ง phosphorylated proteins โดยการใช้ elution buffer 100 ไมโครลิตร (50 mM sodium phosphate buffer pH 4, 300 mM NaCl, 7 M Urea)

2.2 การแสดงผลแผน

- ④ ทำการแยกโดยตีนต่าย SDS-PAGE และย้อมด้วย silver staining จะสามารถทำภาริเดราฟ์หดตามช่วงของเพลย์โปรดีน โดยอาศัยสีฟูฟันที่ได้กราฟ แล้วคำนวณอัตราเป็นตัวเลขและเปรียบเทียบความแตกต่างของค่าที่ได้ ด้วยโปรแกรม Imagequant400 (GE healthcare)

ผลการทดลอง

1. ผลการพยากรณ์เลี้ยงเซลล์ท่อน้ำดี

1.1 ผลการพยากรณ์เลี้ยงเซลล์มะเร็งท่อน้ำดี

จากการเลี้ยงเซลล์มะเร็งท่อน้ำดีชนิด KKU-M213 cells จำนวน 50,000 เซลล์ ด้วย Ham's F12 media (Seromed, Berlin, Germany) ที่ปรับอยู่ด้วย penicillin (200 U/mL) และ streptomycin (200 µg/mL) เป็นเวลา 48 ชั่วโมง จน Gratceทั่วไป confluent ราว 80% พวย่าเซลล์ KKU-M213 จึงกล่าวว่ามีลักษณะ ค่อนข้างปกติ เรียงตัวเป็นชั้นๆ ด้วย (monolayer) เมื่อเทียบกับรายงานของ ศศ. บรรจุป. ศรีกา (unpublished data) พวย่าเม็ดมะเร็งห้องน้ำดี แสดงว่าเซลล์ที่ได้มาลักษณะเหมือนภาวะสำหรับการศึกษาในครั้งนี้ ทั้งนี้ได้พิสูจน์แล้วว่าเซลล์ท่อน้ำดี KKU-M214, KKU-100, KKU-OCA17 เป็นต้น (รูปที่ 1)

1.2 ผลการพยากรณ์เลี้ยงเซลล์ห่อน้ำดีปกติ

จากการเลี้ยงเซลล์ห่อน้ำดีปกติชนิด immortalized MMNK1 cells จำนวน 50,000 เซลล์ ด้วย Ham's F12 media (Seromed, Berlin, Germany) ที่ปรับอยู่ด้วย penicillin (200 U/mL) and streptomycin (200 µg/mL) เป็นเวลา 48 ชั่วโมง จน Gratceทั่วไป confluent ราว 80% พวย่าเซลล์ MMNK1 จึงกล่าวว่ามีลักษณะเรียวยาเยี้ยงภาวะสหค่ายกับ fibroblast เมื่อเทียบกับรายงานการศึกษาของ Masanobu Maruyama และคณะ ในปี 2004 (9) พวย่าเม็ดมะเร็งห้องน้ำดี แสดงว่าเซลล์ที่ได้มาลักษณะเหมือนภาวะสำหรับการศึกษาในครั้งนี้ (รูปที่ 1)

2. ผลการทดสอบ mycoplasma contamination

เมื่อทำการตรวจสอบความปนเปื้อนของ mycoplasma โดยวิธี PCR พวย่าทั้งเซลล์เพาะเลี้ยงชนิด KKU-M213, KKU-M214, KKU-100, KKU-OCA17 และ MMNK1 ให้ผลลบ แสดงว่าไม่มี mycoplasma contamination และเซลล์ห้องน้ำดีเป็น mycoplasma free cell lines (รูปที่ 2)

3. ผลการศึกษาแบบแหน嗥ฟอสฟอร์ตีนของเซลล์พยากรณ์เลี้ยงด้วยวิธี 2DE

ได้นำตัวอย่างปนเปื้อนจาก cell lysate ของเซลล์พยากรณ์เลี้ยง KKU-M213 และ MMNK1 จำนวน 10 µg มาศึกษาด้วยวิธี SDS-PAGE และวิธี western blotting โดยใช้ rabbit anti-phosphotyrosine polyclonal antibody (ab9319-100, abcam) เมื่อเปรียบเทียบแบบแหน嗥ฟอสฟอร์ตีนของเซลล์พยากรณ์เลี้ยงทั้ง 2 ชนิด (รูปที่ 3) พยคามแหน嗥ฟอสฟอร์ตีนที่ตำแหน่งหนึ่งขนาด ~ 43-45 kDa ลดลงและมีการทำการศึกษาด้วยวิธี 2DE และ วิธี western blotting พยคามแหน嗥ฟอสฟอร์ตีนจำนวน 20-30 spots (จากการทดลอง 3 ครั้ง) และปั๊บพบว่าที่ตำแหน่งหนึ่งขนาด ~ 43-45 kDa ลดลง เกิด phosphorylation pattern ที่แตกต่างกันระหว่าง

เซลล์เพาะเลี้ยงชนิด KKU-M213 และ MMNK1 ดังรูปที่ 4A และ 4B จากผลการศึกษาดังกล่าวจะได้ “ไปศึกษาชนิดของโปรตีนต่อไป อีกทั้งยังต้องพัฒนาวิธี IMAC เพื่อเพิ่มการพยายามฟื้นฟูโปรตีนในกระบวนการศึกษาต่อไป” การใช้ rabbit anti-phosphotyrosine polyclonal antibody (sc-7020, Santa Cruz) ในการศึกษาครั้งนี้พบแผนผังฟอสฟอฟอโนโปรตีนจัดกลุ่มตามลักษณะคล้ายกับการศึกษาของ Anna Dubrovská และคณะ ในปี 2005 (10) ที่ได้ศึกษาฟอสฟอฟโนโปรตีนใน MCF10A human breast epithelial cells แต่เมื่อทำการวิเคราะห์ IMAC พบว่าสามารถเพิ่มการพยายามฟื้นฟูโปรตีนในกระบวนการศึกษาได้สำเร็จ

4. ผลการศึกษาแบบแผนฟอสฟอโนโปรตีนของเซลล์เพาะเลี้ยงด้วยวิธี LC-MS/MS

ได้นำตัวอย่างไปรีดจาก cell lysate ของเซลล์เพาะเลี้ยง KKU-M213 และ MMNK1 แยกกันเป็นฟอสฟอโปรตีนด้วยวิธี IMAC (SwellGel[®] Gallium-Chelated Disc.) จากนั้นฟอสฟอโนโปรตีนจะถูกนำมาอยู่ด้วย trypsin ที่จะได้เป็น phosphopeptides และนำตรวจด้วยเครื่อง LC-MS/MS จากนั้นวิเคราะห์ผลโดย DeCyderTM MS 2.0 differential analysis software พยายามหาน้อย 37 phosphopeptides ที่แตกต่างกันอย่างมีนัยสำคัญ ($p < 0.05$) (รูปที่ 5, ตารางที่ 1-2).

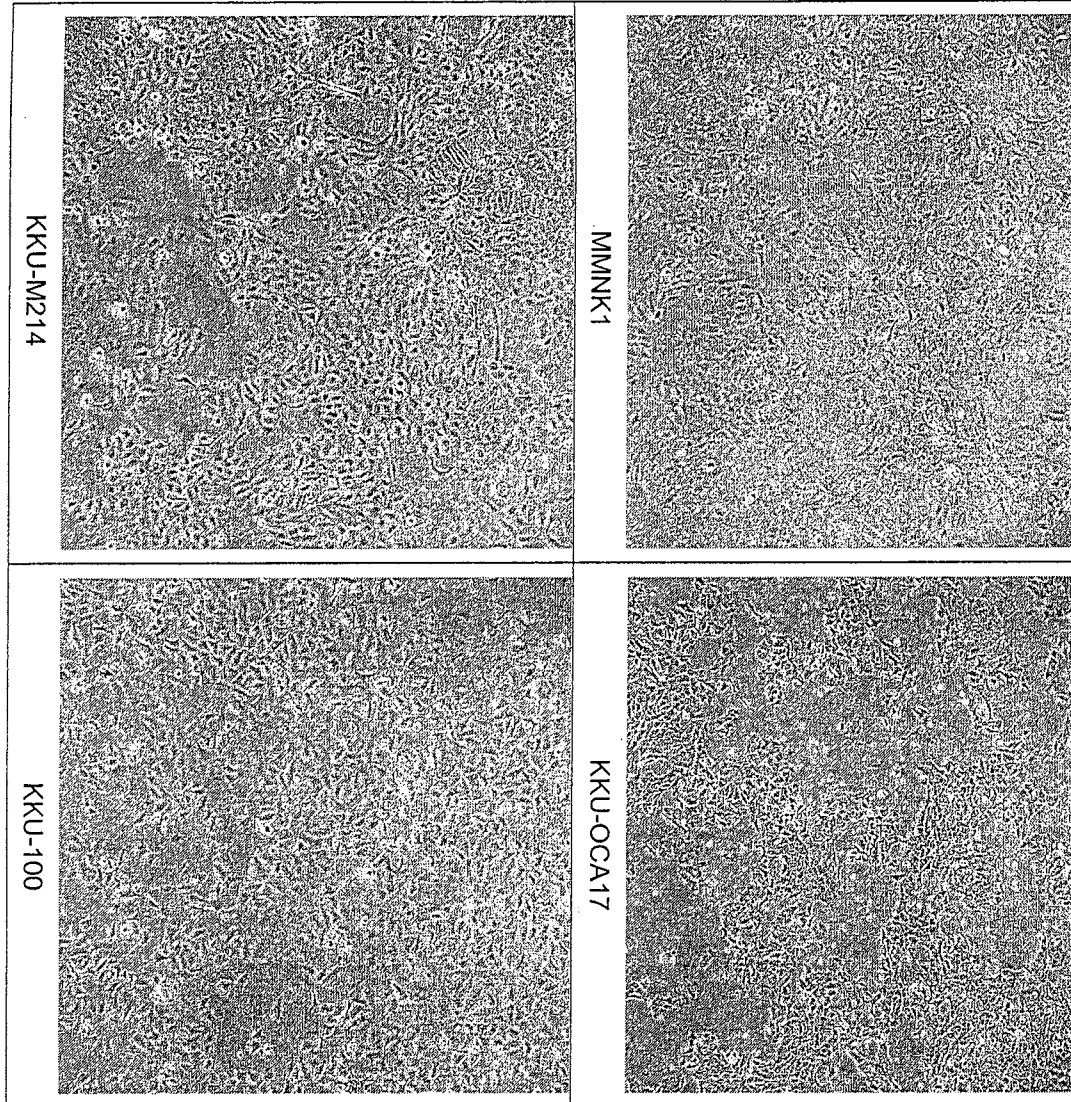
5. ขั้นตอนการคัดเลือกชนิดของฟอสฟอโนโปรตีน โดยอาศัยข้อมูลของสารคัดหล่อหลอมแมร์ทอนให้ได้

Candidate proteins ที่จำนำมาศึกษาด้วย เป็นอัตราที่จะถูกพิจารณาการศึกษา secretome study โดยทำการเตรียม conditioned medium จากเซลล์มะเร็งท่อน้ำดีและเซลล์ปกติ แล้วทำการสร้างแบบแผน conditioned medium จากเซลล์มะเร็งท่อน้ำดีและเซลล์ปกติ (รูปที่ 6) ผลที่ได้จะนำมาใช้ในการเลือกชนิดของฟอสฟอโนโปรตีน อย่างไรก็ตามจากรูปที่ 6 แสดงให้เห็นว่า Conditioned medium มีจำนวนโปรตีนมาก จึงต้องมีการแยกชนิดของโปรตีน (protein identification) แล้วนำมาประเมินหาตัวแทนของกลุ่มฟอสฟอฟโนโปรตีนที่เหมาะสมต่อไป ทั้งนี้แบบแผนโปรตีนขนาด 28, ~ 43-45, 85 kDa จะถูกตั้งเป็นเกณฑ์ในการคัดเลือกต่อไป ผู้เขียนพยายามฟื้นฟูโปรตีนขนาด 28, ~ 43-45, 85 kDa ผลลัพธ์ที่ได้จะถูกตั้งเป็นเกณฑ์ต่อไป ผู้เขียนได้ตรวจสอบ peptides ของ conditioned medium จากเซลล์มะเร็งท่อน้ำดีและเซลล์ปกติ ด้วยวิธี MALDI-TOF แยกความแตกต่างของ mass peaks (รูปที่ 7) ความต่างของ pixel (รูปที่ 8, 9) เมื่อเทียบกับในความหลากหลายของโปรตีนตัวอย่าง จึงนำไปสู่การศึกษาด้วยวิธี LC-MS/MS ใน phase ต่อไป

6. ขั้นตอนการคัดเลือกชนิดของฟอสฟอโนโปรตีน โดยอาศัยข้อมูลของชีริงค์ป้ายมัลเร่อท์หน้าดี

เมื่อทำการแยกบริสก์ฟอสฟอโนโปรตีนในชีริงค์ด้วยวิธี IMAC พยายามแตกต่างของแบบแผนฟอสฟอโนโปรตีนจากชีริงค์ 2 ชนิด คือในส่วนป้ายมัลเร่อท์หน้าดีที่ตำแหน่ง 225, 95, 71, 59 และ 43 kDa ล้วนต้น มีความบ่ำบีของแบบแผนฟอสฟอโนโปรตีนมากกว่าในส่วนป้ายมัลเร่อท์หน้าดีที่ 10 แสดงว่าชีริงค์ 2 ชนิดมีความแตกต่างกันของแบบแผนฟอสฟอโนโปรตีน จานนี้ดำเนินตามที่พูมพานา闷หาคำความไว (sensitivity) และความจีงใจ (specificity) เพื่อให้ในการแยกผู้ป่วยจะเรื่องท่อน้ำดีออกจากรูปที่มีสูงมากดี พยายามของฟอสฟอโนโปรตีนที่ตำแหน่ง 225, 95, 71, 59 และ 43 kDa ล้วนต้น ให้คำความไว 41, 33, 50, 33

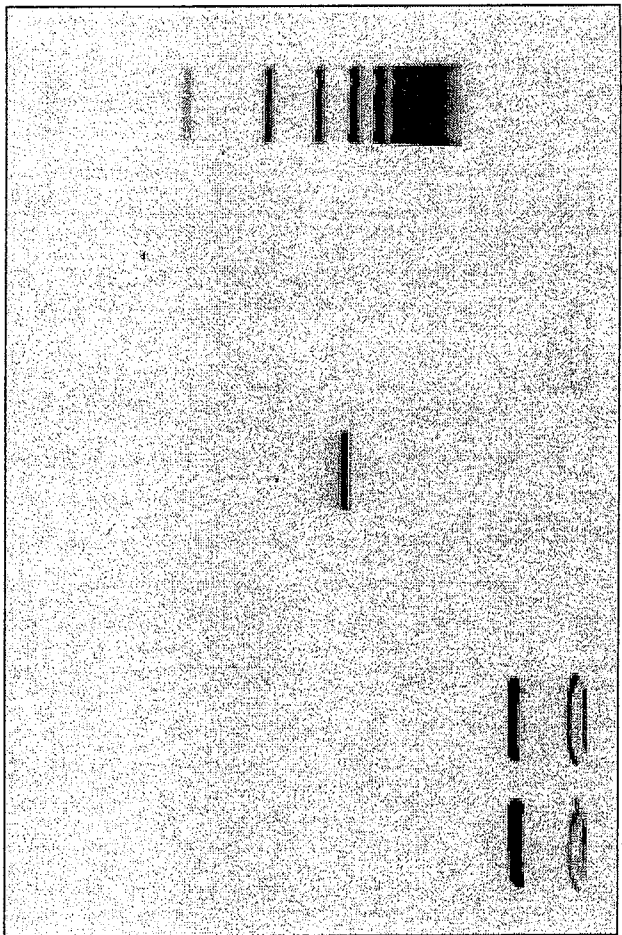
แล้ว 75 เปอร์เซ็นต์ ตามลำดับ แล้วความเจ้า胸ใจ 100, 57, 42, 71 และ 42 เปอร์เซ็นต์ ตามลำดับตามที่
รุ่งແບແຜນที่พม่าอาจนำมาใช้ยังอิสระในการวินิจฉัยแยกผู้ป่วยมะเร็งท่อน้ำดี



รูปที่ 1 ภาพสักข์ของเส้นเชือก MMNK1 (บันดาล), KKU-M214 (ล่างซ้าย), KKU-100 (ล่างขวา) และ KKU-OCA17 (บนขวา)

MMNK1	Cholangiocyte
KKU-M214	Cholangiocarcinoma : MD to PD : Male/Age52
KKU-100	Cholangiocarcinoma : MD to PD : Female/Age65
KKU-OCA17	Cholangiocarcinoma : WD with papillary and mucin producing:

Male/Age38



รูปที่ 2 ผลการตรวจสอย Mycoplasma ของเซลล์พยาธิยุงชนิด KKU-M214 และ ชนิด KKU-100

Marker

เซลล์พยาธิยุงชนิด KKU-M214 และ Mycoplasma free

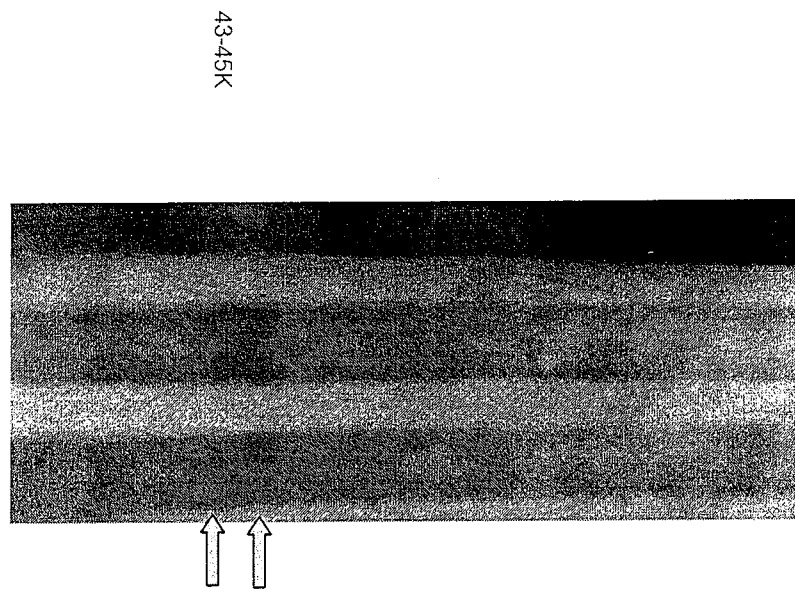
เซลล์พยาธิยุงชนิด KKU-100 และ Mycoplasma free

PC positive control

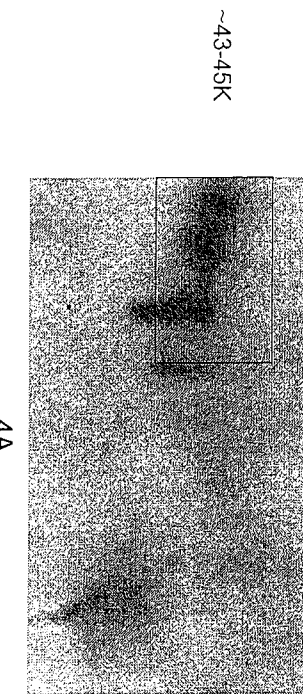
NC negative control

DNA เซลล์พยาธิยุงชนิด KKU-M214

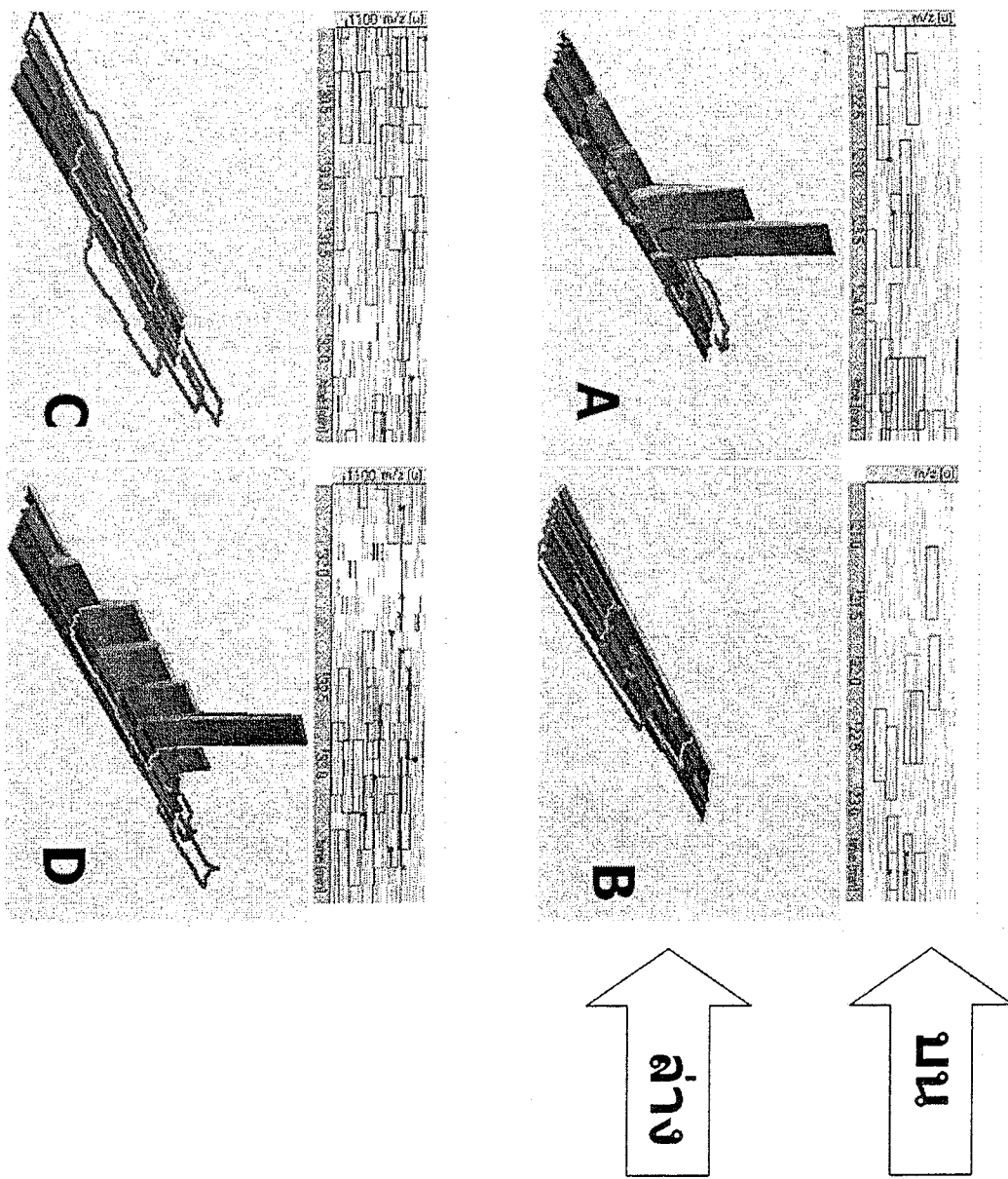
DNA เซลล์พยาธิยุงชนิด KKU-100



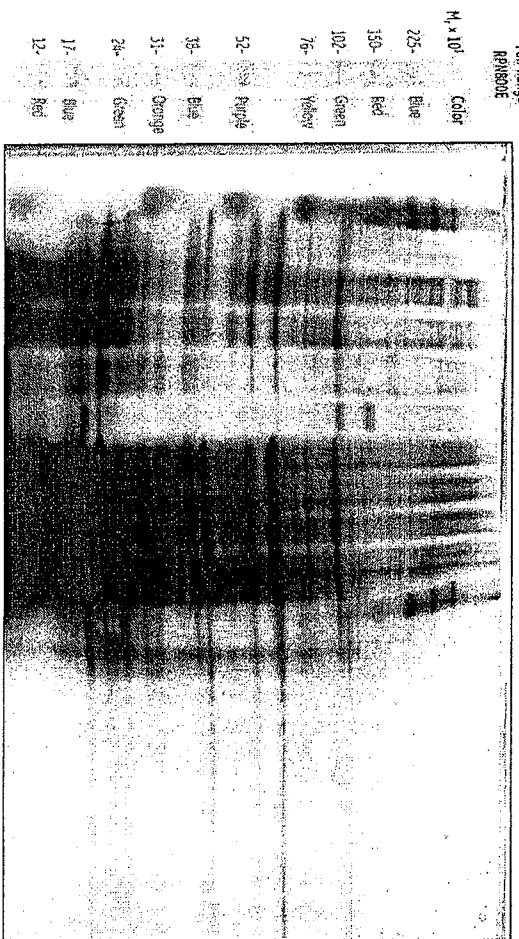
รูปที่ 3 แบบแผนพ่อสโพโรตีนของเซลล์พะเสี้ยงชนิด KKU-M213 และ MMNK1
 (1) แสดงแบบแผนพ่อสโพโรตีนของ cell lysate จากเซลล์พะเสี้ยงชนิด KKU-M213 และ (2) MMNK1 จ้วง rabbit anti-phosphotyrosine polyclonal antibody (M) protein standard (ถิ่นศร) แสดงความแตกต่าง ของแบบแผนพ่อสโพโรตีนที่ตำแหน่งขนาด ~ 43-45 กิโลดาลตัน



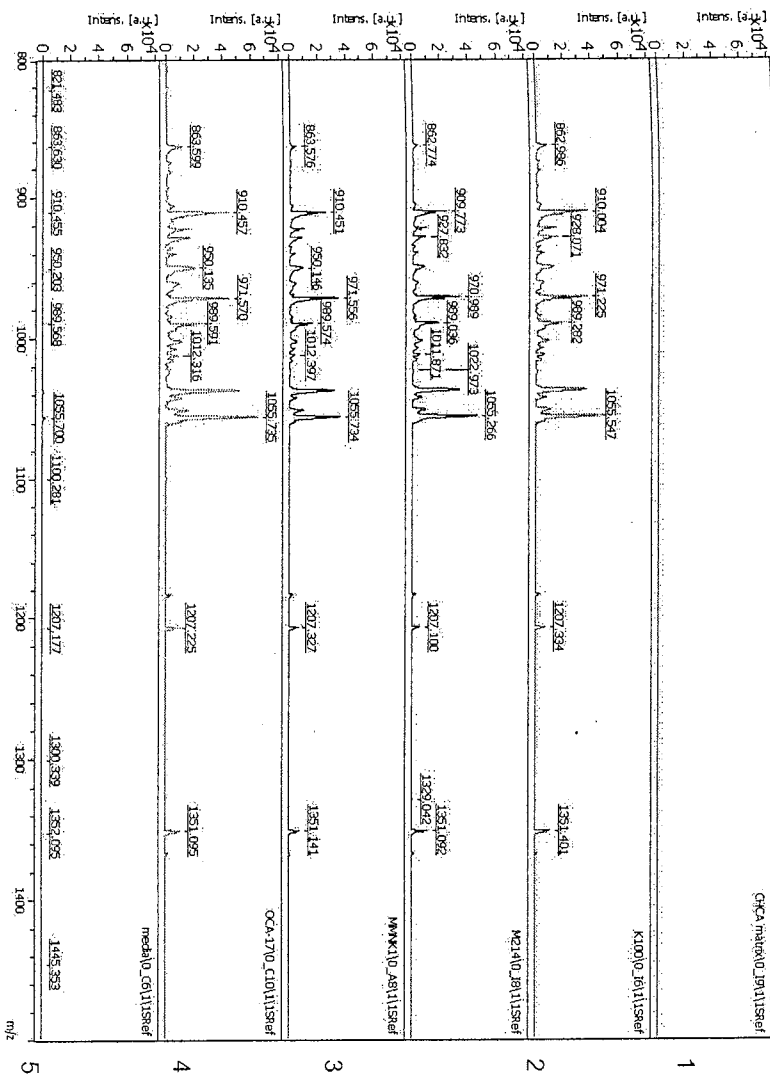
รูปที่ 4 แสดงแบบแผน 2 มิติของฟอสฟ์โพรตีนจากเซลล์พะเสี้ยงชนิด KKU-M213 และ MMNK1 (4A) แสดงแบบแผน 2 มิติของฟอสฟ์โพรตีนจาก cell lysate ของเซลล์พะเสี้ยงชนิด KKU-M213 และ (4B) MMNK1 ด้วย rabbit anti-phosphotyrosine polyclonal antibody (กรอบดำ 4A) แสดง phosphorylation pattern ของเซลล์พะเสี้ยงชนิด KKU-M213 ที่ตำแหน่งขนาด ~ 43-45 กิโลดาตัน (กรอบดำ 4B) ไม่ปรากฏ phosphorylation pattern ของเซลล์พะเสี้ยงชนิด MMNK1 ที่ตำแหน่งดังกล่าว



รูปที่ 5 ด้วยการเปรียบเทียบ intensity peaks (ล่าง) และห่วง KKU-M213 (B, D) และ MMNK1 (A, C) ที่ mass 1160 (A, B) และ 1112 (C, D) ตามลำดับ จากตารางที่ 1 และ 2D intensity map (บน) แผน x แสดง retention time (min) และ y แสดง mass/charge



รูปที่ 6 เมนูแหนณของโปรตีนคัดหล่อ (conditioned medium) (1-4) และโปรตีนหักหงษ์ (cell lysate) (5-8) ของเซลล์พะสีเยงทัง 4 ชนิด MMNK1, KKU-M214, KKU-100 และ KKU-OCA17 และ protein standard (M) โดยการย้อมด้วย silver stain

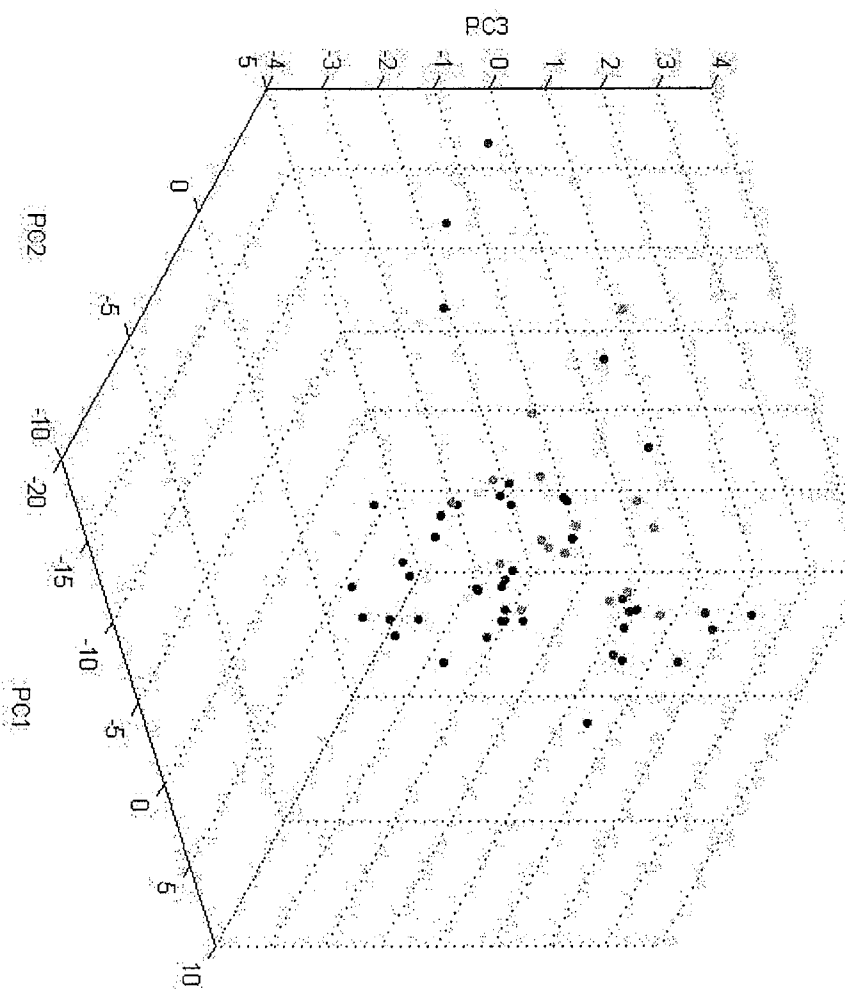


รูปที่ 7 ตัวอย่างการประยุกต์ใช้ intensity peaks (ส่าง) ระหบว่าง MMNK1 กับยาคลื่นแม่เรืองชนิดต่างๆ (panel

2-3); *mautx* (parallel 1), etc. *Meadum* (parallel 6)

గొంఱ y వైసెడ్సి intesity

၁၃

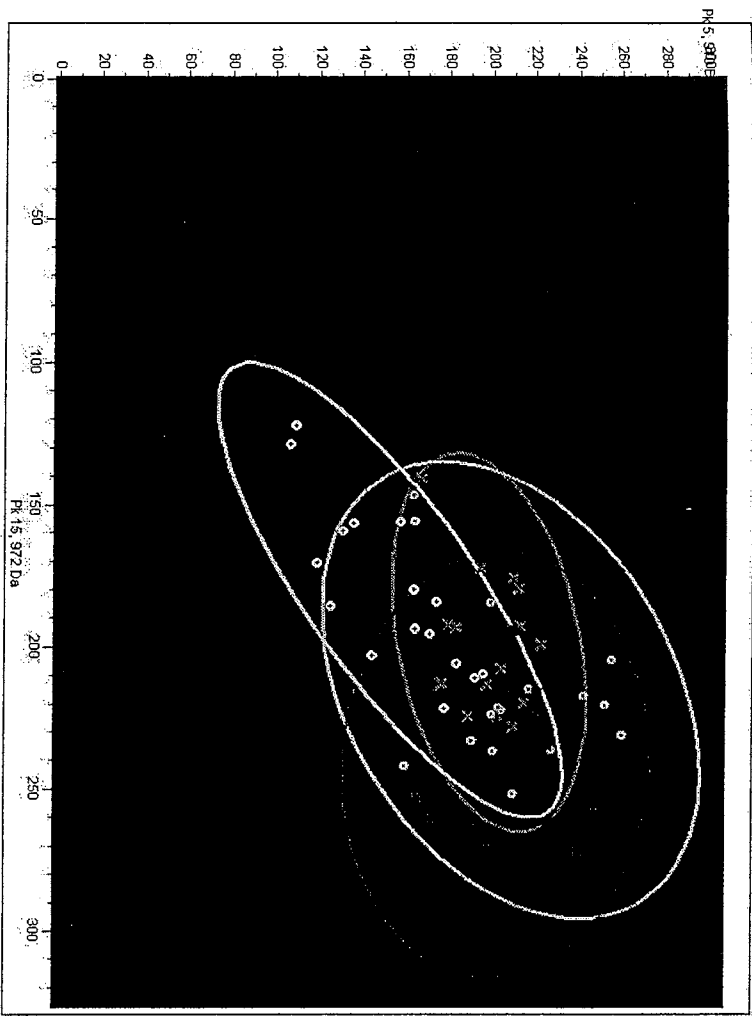


รูปที่ 8 แสดงตัวอย่างการประยุกต์ใช้ peptide peaks ระหว่าง MMNK1 กับเซลล์มะเร็งชนิดด่างๆ

PC1 แสดงบาน X

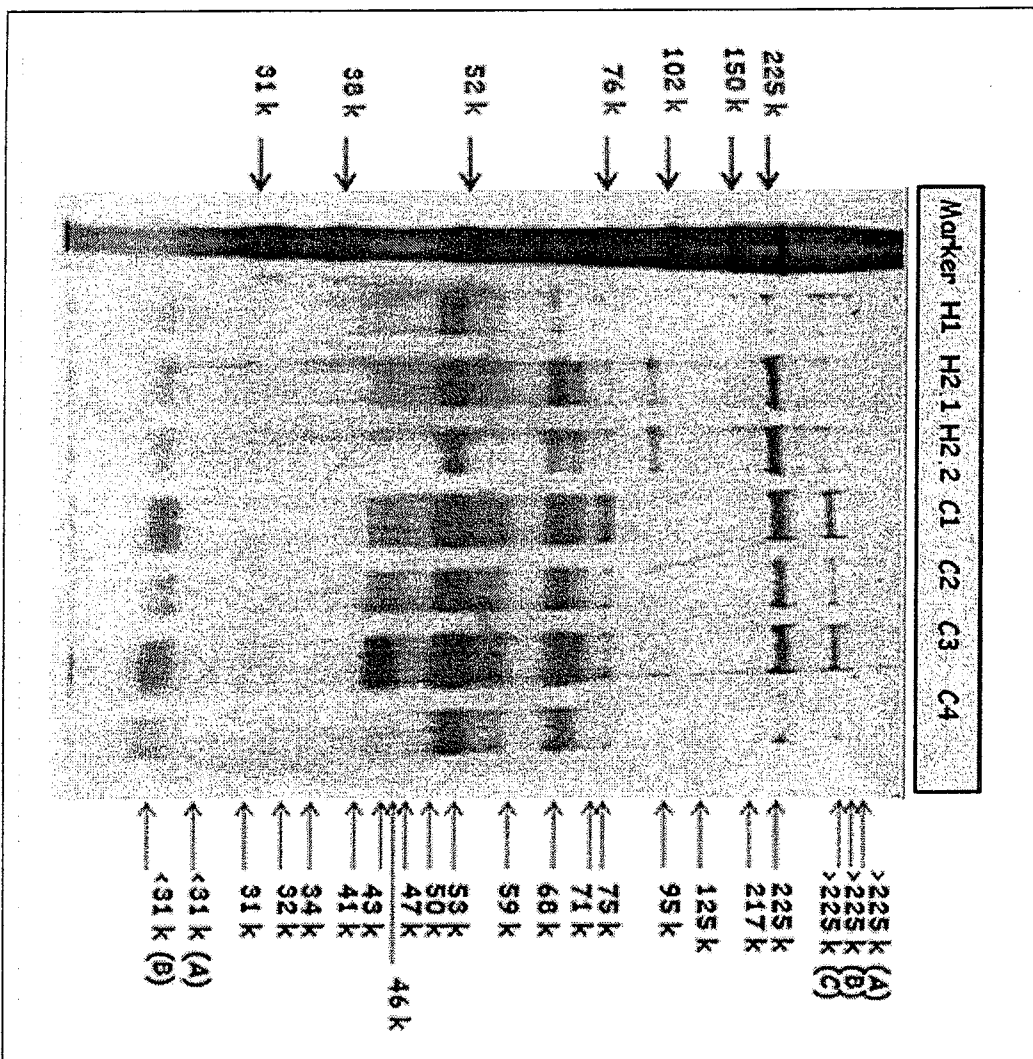
PC2 แสดงบาน Y

PC3 แสดงบาน Z



K100=red, M214=green, MMNK1=blue, OCA-17=yellow

รูปที่ 9 แสดงจัวอย่างการประยุ猛ที่มี peptide peaks ระหว่าง MMNK1 กับเมชล์มัธเรงชนิดต่างๆ
แกน x แสดง PK15
แกน y แสดง PK5



รูปที่ 10 แสดงแบบแพนโนลฟิล์มที่ได้จากการทำ SDS-PAGE แล้วถ่าย silver staining ถ่ายภาพด้วยเครื่อง BIORAD GS-710 scanner ของผู้ศึกษาพัฒนาที่ 1 และ 2 (H1 และ H2) และผู้ป่วยมะเร็งหอยเป็ด รายที่ 1 ถึง 4 (C1-C4) ยกเว้นเด็กน้ำนมแสดงผลแยกของ molecular weight marker แสดงลักษณะแสดง molecular weight มีหน่วยเป็นกิโลเดคาลตัน ยกเว้นเด็กน้ำนมแสดงแบบโปรตีนฟิล์ม โดย H2 ทำ 2 ครั้ง (duplicate) เมื่อนำ H2 ห้อง 2 มาไปตรวจวินิเคราะห์ด้วยโปรแกรม image quant ความเข้มข้นของโปรตีนที่ได้ ไม่มีความแตกต่างกัน ($p = 0.192$) จึงเท่า H2.1 ไปดำเนินผลการวิเคราะห์และคำนวณค่าเฉลี่ยของค่าที่ได้

มวลโปรตีน (กิโลกรัมตัน)	ความไว/ (เปอร์เซ็นต์)	ผู้ป่วยมีเรืองท่อน้ำดี	ผู้มีสมรรถภาพดี
225	41/100	[REDACTED]	[REDACTED]
95	33/57	[REDACTED]	[REDACTED]
71	50/42	[REDACTED]	[REDACTED]
59	33/71	[REDACTED]	[REDACTED]
43	75/42	[REDACTED]	[REDACTED]

รูปที่ 11 แสดงแบบแผนจำลองของฟอสฟอเรซินทวยวิธี IMAC ที่พับความแตกต่างในศีรษะผู้ป่วยมีเรืองท่อน้ำดีเมื่อเทียบกับศีรษะผู้ที่มีสุขภาพดี โดยเมื่อแยกโดยรัตนทวย SDS-PAGE และย้อมด้วย silver staining

ตารางที่ 1 แสดงตัวอย่าง peptides ที่เดาได้กัน

Match #	Profile s	Mass (Da)	Time (min)	Time stdev (min)	Av. Diff. (2Log)	Av. Ratio (Lin)
934	4	1160.	22.863	0.7762	3.5847	11.998
1064	4	1112.	32.434	1.1410	3.8201	0.0707

- Match# = Id of the peptide
 Profiles = Number of profiles
 Mass = Mass of peptide
 Time = Elution time (minute)
 Time stdev = Elution time standard deviation (minute)
 Av. Diff. = Average difference.
 Calculated as the difference in group means for 2log intensity between population 1 and population 2
 AV. Ratio = Average ratio.
 Calculated as the difference in group means for linear intensity between population 1 and population 2

จารางวัล 2 เมสเซนเจอร์ RNA ที่มีความแตกต่างอย่างพิเศษระหว่างเซลล์พืชและเซลล์พืชในตัวKKU-

M213 และ MMNK1

ลำดับ	ตัวอย่างพ่อพันธุ์พยา
1	Tubulin
2	Membrane-bound glutamate carboxypeptidase
3	Beta-1, 4-N-acetyl-galactosaminyl transferase 1
4	SPATA20 protein
5	hCG1795804
6	Elongin C
7	Ubiquitin specific peptidase 25
8	N-acylaminoacyl-peptide hydrolase
9	Immunoglobulin light chain
10	Transforming growth factor

บทวิจารณ์

การศึกษาเบื้องต้นของแบบแผนพอลิฟอฟิโปรตีนที่พบในเซลล์พะเสี้ยง ด้วย LC-MS/MS จากการแยกวิสูตร์ด้วยวิธี IMAC สามารถแสดงความเฉพาะเจาะจงระหว่างเซลล์พะเสี้ยงและเซลล์พะเสี้ยง ในกระบวนการตัดเลือก candidate phosphoproteins สามารถใช้ western blotting โดยใช้ anti-phosphotyrosine polyclonal antibody สามารถยืนยันการพแบบแผนพอลิฟอฟิโปรตีนที่พบในเซลล์พะเสี้ยง ในการตัดเลือก candidate phosphoproteins สามารถเลือกสูง secreted phosphoproteins ได้จากผลการศึกษา secretome study ที่เห็นร่วมแบบแผนพอลิฟอฟิโปรตีนที่พบในเซลล์พะเสี้ยงท่องเที่ยวนี้ สอดคล้องกับการพินิจคุณ จึงนำมาสู่การสรุปว่า ควรนำผลลัพธ์มาใช้ในการเลือกแบบแผนไปศึกษาต่อด้วยการทำ Multiplex testing โดยอาศัยกลุ่มตัวอย่างซึ่งมีดังนี้

การแยกวิสูตร์พอลิฟอฟิโปรตีนด้วยวิธี IMAC นิยมใช้ Fe(III) เป็น metal ion แม้ว่าจะสามารถใช้ Ga(III), Zn(II) และ Al(III) ได้ด้วยก็ตาม ปี 2007 Machida, M. และคณะ (11) พบว่า Ga(III) มีประสิทธิภาพในการแยกวิสูตร์พอลิฟอฟิโปรตีนสูงกว่าการตัดกรอง (pH 5.5) และเกลือที่ 0.5M NaCl ในกระบวนการตัดกรอง เช่น Fe(III), Ga(III) สำหรับการตรวจวินัยพอลิฟอฟิโปรตีนที่แยกได้ สามารถทำได้ด้วยวิธี western blotting โดยเลือกใช้ antibody ที่จำพาะ เช่น anti-phosphotyrosine, anti-phosphoserine หรือ anti-phosphothreonine antibody เป็นต้น ในปัจจุบันมีการยอมพอลิฟอฟิโปรตีนด้วย phosphoprotein staining reagent ที่มีกำหนดอย่างหลากหลายเช่น Pro-Q Diamond® การยอมเจลชุมนาดาลีก 10 จัชอย่าง ต้องใช้ทุนกว่า 30,000 บาท จึงยังไม่นิยมใช้ทั่วไป และประมาณการแนวการใช้สีอย้อมด้วยสีที่ไม่ทำอุดม กล่าวคือมี reproducibility ดี แต่ในงานวิจัยยังไม่พยายามเพื่อให้เกิดห้องปฏิบัติการ นักงานนักการยืนยันตัวบ่งฟอสฟอตีนนั้นหลังการซัก (eluted samples) ทำได้โดยการเติม eluted samples ด้วยเอนไซม์ phosphatase ที่ห้ามทำให้มีสีในการตัดหุ่นพอลิฟอฟิโปรตีนได้ ดังนั้นมืออาชีวะจึง SDS-PAGE และย้อมโปรตีน จะเห็นร่องมีการ shift ของแอมบิวตีนที่ลงร้าว 80 จัชตัน (ขันดูของพอลิฟอฟิโปรตีนที่ถูกตัดออก)

การย้อมโปรตีนด้วยวิธี Silver staining สามารถย้อมโปรตีนที่มีความเข้มข้นในระดับไม่ต่ำกว่า 0.1 mg/ml แต่ผลการย้อมโปรตีนที่มีปริมาณต่ำกว่านี้ก็สามารถดูเห็นได้ด้วยวิธีสีฟูแลนฟอร์มัล ในการวิเคราะห์โปรตีนที่มีโครงสร้างที่มีปริมาณมาก ต้องนับข้อบัญญัติความเข้ม (intensity) อาจเกิดความคลาดเคลื่อน สำหรับการย้อมด้วยสีฟูแลนฟอร์มัลจะต้องนับความเข้ม (intensity) อาจเกิดข้อบัญญัติความเข้มต่ำ เช่น SYPRO Ruby® ก็มีข้อจำกัดเกี่ยวกับรากฟ้าที่บดบังสีฟูแลนฟอร์มัล เช่น เผร้าไม่สามารถมองเห็นได้ด้วยตาเปล่า

การศึกษาความไวและความจำจำเพาะของสารบ่งชี้ให้ทราบว่า carcinoembryonic antigen (CEA) และ carbohydrate antigen (CA) 19-9 มีค่าความไว 68 % และ 66 % ส่วนค่าความจำจำเพาะ 81

% และ 88 % ตามลำดับ เมื่อยกพลาสติกไว้บนหัวเข็มทิศทางที่ต้องเดินนำดิน น้ำดื่มและตับอ่อน กีส์มาร์คพย CEA และ CA 19-9 ได้ (12) แม้ว่าการหาสารประกอบที่มีร่องรอยของภาระพยาธิสภาพของระบบทางเดินอาหาร น้ำดื่มและตับอ่อน กีส์มาร์คพย CEA และ CA 19-9 ได้ (12) พิษ วงศ์คำ แอลจันดา พย ภา สถาบันวิจัยฯ ได้มีเพิ่มมาเรียบ โดยในปี 1996 รองศาสตราจารย์ ดร. โศ ใจวิจัยฯ ได้นำร่องรอย อย่างไรก็ตาม SBG ถูกพบได้ในตับอ่อนที่มีการอักเสบของห้องน้ำได้ถึง 84 % จึงอาจพิจารณาการให้สารเคมีในการตัดการของเพื่อหักล้าลุ่มคนที่มีพยาธิสภาพของห้องน้ำได้ ซึ่งเป็นกลุ่มเสี่ยงต่อการเกิดมะเร็งห้องน้ำได้ (13) ในปี 2003 ตรวจพบว่า MUC5AC มีค่าความจำเพาะสูงถึง 97 % และค่าความไว 63 % (3) การตรวจ isoform ของเอนไซม์ alkaline phosphatase ที่เรียกว่า biliary alkaline phosphatase ให้ค่าความไวในผู้ป่วยมะเร็งห้องน้ำต่ำที่ไม่มีภาวะเหลืองถึง 85 % และค่าความจำเพาะ 79 % จึงเป็นสารเคมีที่น่าสนใจในการให้สัมผัสร่องรอยมะเร็งห้องน้ำได้เช่นกัน โดยสรุป สารเคมีที่ใช้สัมผัสร่องรอยมะเร็งห้องน้ำได้โดยทั่วไปจะมีน้ำหนัก ให้ค่าความไวที่ใกล้เคียงกันคือประมาณ 63 - 85 % และค่าความจำเพาะ 79 - 97 % อย่างไรก็ได้ การนำข้อมูลที่ศึกษาแบบแผนในการวินิจฉัยน้ำหนัก กล่าวคือมีความหลากหลายมากกว่าการศึกษาโดยเดียว ดังที่ผ่านมา แล้วจะได้มาไปพัฒนาต่อโดยการใช้ Multiplex testing เพื่อปรับยุทธศาสตร์ในการประเมินด้วย

ເລກສາຮ້າງອັງ

1. Lim YP. Mining the tumor phosphoproteome for cancer markers. *Clin Cancer Res.* 2005 May 1;11(9):3163-9.
2. Shawver LK, Slamon D, Ullrich A. Smart drugs: tyrosine kinase inhibitors in cancer therapy. *Cancer Cell.* 2002 Mar;1(2):117-23.
3. Wongkham S, Sheehan JK, Boonla C, Patrakittikomjorn S, Howard M, Kirkham S, et al. Serum MUC5AC mucin as a potential marker for cholangiocarcinoma. *Cancer Lett.* 2003 May 30;195(1):93-9.
4. Boonla C, Wongkham S, Sheehan JK, Wongkham C, Bhudhisawasdi V, Tepsiri N, et al. Prognostic value of serum MUC5AC mucin in patients with cholangiocarcinoma. *Cancer.* 2003 Oct 1;98(7):1438-43.
5. Bhudhisawasdi V, Muisuk K, Areejitranusorn P, Kularbkaew C, Khampitak T, Saeseow OT, et al. Clinical value of biliary alkaline phosphatase in non-jaundiced cholangiocarcinoma. *J Cancer Res Clin Oncol.* 2004 Feb;130(2):87-92.
6. Yoon JH, Higuchi H, Werneburg NW, Kaufmann SH, Gores GJ. Bile acids induce cyclooxygenase-2 expression via the epidermal growth factor receptor in a human cholangiocarcinoma cell line. *Gastroenterology.* 2002 Apr;122(4):985-93.
7. Wu T, Han C, Lunz JG, 3rd, Michalopoulos G, Shelhamer JH, Demetris AJ. Involvement of 85-kd cytosolic phospholipase A(2) and cyclooxygenase-2 in the proliferation of human cholangiocarcinoma cells. *Hepatology.* 2002 Aug;36(2):363-73.
8. Wu T, Leng J, Han C, Demetris AJ. The cyclooxygenase-2 inhibitor celecoxib blocks phosphorylation of Akt and induces apoptosis in human cholangiocarcinoma cells. *Mol Cancer Ther.* 2004 Mar;3(3):299-307.
9. Maruyama M, Kobayashi N, Westerman KA, Sakaguchi M, Allain JE, Totsugawa T, et al. Establishment of a highly differentiated immortalized human cholangiocyte cell line with SV40T and hTERT. *Transplantation.* 2004 Feb 15;77(3):446-51.
10. Dubrovska A, Souchelnytskyi S. Efficient enrichment of intact phosphorylated proteins by modified immobilized metal-affinity chromatography. *Proteomics.* 2005 Dec;5(18):4678-83.

11. Machida M, Kosako H, Shirakabe K, Kobayashi M, Ushiyama M, Ihagawa J, et al. Purification of phosphoproteins by immobilized metal affinity chromatography and its application to phosphoproteome analysis. *Febs J.* 2007 Mar;274(6):1576-87.
12. Qin XL, Wang ZR, Shi JS, Lu M, Wang L, He QR. Utility of serum CA19-9 in diagnosis of cholangiocarcinoma: in comparison with CEA. *World J Gastroenterol.* 2004 Feb 1;10(3):427-32.
13. Luengpailin S, Wongkham S, Wongkham C, Sripa B, Sirijaichingkul S, Chauin S, et al. Demonstration of a biliary-associated glycoprotein in human serum. *Clin Chim Acta.* 1996 Jan 31;244(2):237-40.

OutPut จากโครงการวิจัยที่ได้รับทุนจาก สกอ.

1. ผลงานตีพิมพ์ในวารสารวิชาการนานาชาติหรือผลงานตามที่คาดไว้ในสัญญาโครงการ
 - 1.1 ผลงานตีพิมพ์ในวารสารวิชาการนานาชาติ อยู่ในระหว่างการพัฒนา Proceeding (ภาคผนวก ก และ ช) เพื่อส่งผลงานตีพิมพ์ โดยในกิตติกรรมประกาศมีนาม สกอ.
2. การนำผลงานวิจัยไปใช้ประโยชน์เชิงวิชาการ (มีการพัฒนาการเรียนการสอน/สร้างนักวิจัยใหม่)
 - 2.1 เป็นส่วนหนึ่งของวิชาภาคบันยัน หลักสูตรวิทยศาสตรบัณฑิต สาขาวิทยาศาสตร์การแพทย์ คณะเทคโนโลยีการแพทย์ มหาวิทยาลัยขอนแก่น สำเร็จการศึกษาปีการศึกษา 2552 (ภาคผนวก ข)
 - 2.2 เป็นส่วนหนึ่งของวิชาภาคบันยัน หลักสูตรวิทยศาสตรบัณฑิต สาขาวิทยาศาสตร์การแพทย์ คณะเทคโนโลยีการแพทย์ มหาวิทยาลัยขอนแก่น สำเร็จการศึกษาปีการศึกษา 2553 (ภาคผนวก ค)
 - 2.3 เป็นส่วนหนึ่งของวิชาบันยัน หลักสูตรวิทยศาสตรบัณฑิต สาขาวิทยาศาสตร์ การแพทย์ คณะเทคโนโลยีการแพทย์ มหาวิทยาลัยขอนแก่น ปีการศึกษา 2552 จนถึงปัจจุบัน (ภาคผนวก ก,ช)
 - 2.4 เป็นส่วนหนึ่งของวิชาเทคโนโลยีทางห้องปฏิบัติการวิทยาศาสตร์การแพทย์ (ภาคทฤษฎีและปฏิบัติการ) หลักสูตรวิทยศาสตรบัณฑิต สาขาวิทยาศาสตร์การแพทย์ คณะเทคโนโลยีการแพทย์ มหาวิทยาลัยขอนแก่น ปีการศึกษา 2552 จนถึงปัจจุบัน

3. อื่นๆ

3.1 การนำเสนอผลงานในที่ประชุม

ชื่อผลงาน	ชื่อประชุม	ชื่อผู้วิจัย
1. Differential Profiling of serum phosphorylated proteins in Cholangiocarcinoma (ภาคผนวก ง)	The 2 nd Conference on Biochemistry and Molecular Biology for Region Sustainable Development วันที่ 7 – 8 พฤษภาคม 2552 ณ คณะวิทยาศาสตร์ มหาวิทยาลัยขอนแก่น	Siriporn Patrakitkomjorn, et al.
2. การเปรียบเทียบแบบแผนฟอสฟอโปรตีนของเซลล์เพาะเลี้ยง	การประชุมวิชาการประจำปี คณะแพทยศาสตร์	ศิริพร ภัทรกิจกิจาร และคณะ

*ข้อ 2.4 <https://sites.google.com/site/siripornpat/>

ไฟล์แนบ : secretome analysis

ชื่งจะอยู่ด้านล่างของหน้านั้นค่ะ

ມະນີ້ງທອນນຳຈິບປະເມັດລື ເພັະສື່ຍົກເຕີ (ກາດແນວກາ ຈ)	ມາວິທີປາສັ່ອອນແກ່ນ ດົງກໍ 25 ປະຈຸບັນ 2552 ວັນທີ 13 – 16 ຊຸລາຄົມ 2552 ໃນ ດັນແພຍຫາສະຕົຮ່ ມາວິທີປາສັ່ອອນແກ່ນ
3. Phosphoproteome study based Cholangiocarcinoma markers (ກາດແນວກາ ຈ)	<p>ການປະຫຼຸມເນັດຈິບປຸນໃໝ່ ພຣ ເມືອງຈິບປຸນ ສາ. ດຽວທີ 10 ວັນທີ 14 – 16 ຊຸລາຄົມ 2553 ໃນ ໂຮມແຮມອອລິເຕີຍອິນໜ້ ຮີສອວົງ ວິຈີນທີ ປຶກ ຢະອຳ ຈຶ່ງຫັດ ເພິ່ງງານ ເພິ່ງງານ</p>
4. Cholangiocarcinoma cell secretome: an alternative source for markers discovery? (ກາດແນວກາ ແລະ ຈ)	<p>International Congress of Liver Flukes Date 7 – 8 March 2011 At Pullman Raja Orchid Hotel, Khon Kaen, Thailand</p>

Cholangiocarcinoma cell secretome: an alternative source for markers discovery?

Montira Janan¹, Sittiruk Roytrakul², Temduang Limpaiboon^{1,3}, Sopit Wongkham³, Chaisiri Wongkham³, Siriporn Patrakittkomjorn^{1,3}

¹Centre for Research and Development of Medical Diagnostic Laboratories, Faculty of Associated Medical Sciences, Khon Kaen University, Khon Kaen
²Genome Institute, National Center for Genetic Engineering and Biotechnology (BIOTEC), the National Science and Technology Development Agency (NSTDA), Pathumthani
³Liver Fluke and Cholangiocarcinoma Research Center, Faculty of Medicine, Khon Kaen University, Khon Kaen

ABSTRACT

Cholangiocarcinoma (CCA) is bile ducts malignant tumor that associated with *Opisthorchis viverrini* infection. This disease is often detected in late stages and high mortality rate. However, the potential biomarkers for CCA are still lacking. Thus, there is an urgent need to find diagnostic biomarkers for detection in early stage. The cancer secretome, proteins secreted from cancer cells has emerged as an attractive subproteome for cancer biomarker discovery in some cancers. The purpose of this study was to investigate the secretome patterns of CCA cell lines (KKU-OCA17, KKU-M213, KKU-M214, and KKU-100) and immortalized cholangiocyte cell line (MMNK1). The secretomes of five cell lines were examined by SDS-PAGE and MALDI-TOF MS. ImageQuant software was used for those secreted protein patterns separated by SDS-PAGE and their intensity were analyzed. At least thirty bands were detected on CCA cell line in each. Some common proteins were found and some were different. Interestingly, 44 and 21 kDa proteins were found only in MMNK1, 42 kDa and 28 kDa proteins were found only in KKU-OCA17 and KKU-100, respectively. Moreover, 85 kDa protein in KKU-OCA17 was three fold higher than other samples. We found a limitation of MALDI-TOF MS analysis for intact proteins was insufficient to distinguish these secretome samples due to high-complexity proteins. In conclusion, CCA secretome patterns can be determined by SDS-PAGE. However, the candidate biomarkers in the differentially expressed protein bands remained to be identified.

Keywords: Secretome, Proteomics, Biomarker, Cholangiocarcinoma

INTRODUCTION

Cholangiocarcinoma (CCA) is a malignant tumor of the biliary epithelium associated with a high metastatic and mortality rate [1]. The disease is notoriously difficult to diagnose and is usually fatal because of its late clinical presentation. It remains an important public health problem due to lacking of potential biomarkers for early diagnosis [2, 3]. Therefore, it is a pressing need to find novel biomarkers that utilize for detection in early stage or can be detected in asymptomatic patients.

The cancer secretome, all proteins released by cancer cells, has been attracting wide attention. These proteins play an important role in many essential physiological and pathophysiological processes [4], emerged to be a promising and reliable source of cancer biomarkers. Several studies on cancer secretome have successfully identified a rich set of potential biomarkers for cancer detection in various cancers [5-7].

Proteomic approaches are the mainstay of cancer secretome analysis and biomarker discovery. Several technologies have been applied in secretome researches including gel-free MS and gel-based MS strategies [7]. GeLC-MS/MS proteomics approach is widely used in secretome study by using SDS-PAGE as first-dimensional separation of complex secreted protein mixtures before subsequent LC-MS/MS analysis [8]. Moreover, MALDI-TOF MS was applied in many studies to measure mixtures of complex samples directly [9]. This alternative approaches becomes possible to easily and rapidly analyze secretome samples.

MATERIALS AND METHODS

Cell lines and Cell cultivation

Four CCA cell lines including KKU-OCA17, KKU-M213, KKU-M214, and KKU-100 were kindly provided by Associate Professor Dr. Banchob Sripa, Liver Flukes and Cholangiocarcinoma Research Center (LFCRC), Faculty of Medicine, Khon Kaen University. An immortalized cholangiocyte cell line, MMNK1 [10] cell lines were grown in Ham's F-12 culture medium, supplemented with 10% fetal bovine serum, 100 U/mL penicillin, and 100 µg/mL streptomycin. All cells were maintained at 37 °C in a humidified atmosphere, 95% air, 5% CO₂.

Secretome samples preparation

Culture media from each cell lines were collected and processed. Briefly, cancer cells were grown about 60-70% confluence then remove contaminated fetal bovine serum by washing twice with 1xPBS and twice with serum-free medium. After that, cells were incubated in serum-free medium for 24 hours [11] and the culture media containing secreted proteins were harvested and centrifuged to remove suspended cells. The samples were concentrated and desalted by centrifugation in Amicon Ultra-15 tubes (modified [12]). The protein concentration of secretome samples were determined by Lowry method [13].

SDS-PAGE analysis

Fifty microgram of protein samples were separated on 12.5% SDS-PAGE (ATTO AE-6530 system). The samples were run at 70 volts for 5 hours, room temperature. After electrophoresis, gel was fixed in fixing solution (50% MeOH, 12% HAc, 0.05% of 37% Formaldehyde) for 30 min, then twice washed in washing solution (35% EtOH) for 5 min each and further sensitized by 0.02% Na₂S₂O₃ for 2 min. After that, twice washed in Milli Q water for 5 min each and stained with silver nitrate solution (0.2% AgNO₃) for 20 min, twice washed in Milli Q water for 1 min before color developed with developing solution (6% Na₂CO₃, 0.05% of 37% Formaldehyde, 0.0004% Na₂S₂O₃) until the desired protein bands was attained. Finally, the staining was stopped by 20 min incubation in 1.5% EDTA solution.

The scanned gel file was imported to ImageQuant software. All bands and their intensity were detected, background was subtracted, calculate molecular weight from Log curve of MW standard lane.

MALDI-TOF MS analysis

The protein samples were prepared to a final concentration of $0.4 \mu\text{g}/\mu\text{l}$ and mixed with equal volume of matrix solutions (10 mg/ml sinnapinic acid in 50% acetonitrile containing 0.1% Trifluoroacetic acid). Then, 1 μl of each samples were spotted onto a MALDI plate and dried at room temperature for 15 minutes before analyzed by MALDI-TOF MS (Bruker). All data were analyzed by ProClintool software for multivariate analysis.

RESULTS

All secretome samples of MMNK1, KKU-OCA17, KKU-M213, KKU-M214 and KKU-100 were separated by 12.5% SDS-PAGE and visualized by silver-staining as shown in **figure 1**. The secretome patterns are different among cell lines. Furthermore, the results from ImageQuant software showed that two protein bands (44 and 21 kDa) were found only in MMNK1, a unique band at 42 kDa in KKU-OCA17 and a 28 kDa band in KKU-100. Moreover, the intensity of a protein band with molecular mass of 85 kDa in KKU-OCA17 was higher than other samples (> 3 -fold). In parallel study, secretome of these five samples were investigated by using MALDI-TOF MS, the results from ProClintool software analysis was shown in **figure 2**, in a preliminary data of cell lines secretome was limited due to the discrimination power was low.

CONCLUSION AND DISCUSSION

Appropriated technique for secretome samples preparation was shown in this preliminary study, with high yield secreted proteins that may use for CCA proteomics analysis. The MALDI-TOF MS analysis of intact proteins is rarely sufficient to distinguish theses samples because of complexity proteins need separation step before analyze. The secretome of CCA cell lines was successfully analyzed by SDS-PAGE analysis. The unique pattern of secretome from various CCA cell lines was observed. Accordingly, these secreted proteins were a promising source of biomarkers that needed to be identified and confirmed in clinical samples to get potential biomarkers.

ACKNOWLEDGEMENTS

We thank Janthima Jaresithikunchai and Narumon Phaonakrop for technical support at Genome Institute, National Center for Genetic Engineering and Biotechnology (BIOTEC), the National Science and Technology Development Agency (NSTDA). This project was supported by The Thailand Research Fund, Khon Kaen University research grant, Graduate School of Khon Kaen University, Faculty of Associated Medical Sciences of Khon Kaen University.

REFERENCES

1. Patel T. Increasing incidence and mortality of primary intrahepatic cholangiocarcinoma in the United States. *Hepatology* **2001**; 33:1353-7.
2. Blechacz B, Gores GJ. Cholangiocarcinoma: advances in pathogenesis, diagnosis, and treatment. *Hepatology* **2008**; 48:308-21.
3. Mosconi S, Beretta GD, Labianca R, Zampino MG, Gatta G, Heinemann V. Cholangiocarcinoma. *Crit Rev Oncol Hematol* **2009**; 69:259-70.
4. Xue H, Lu B, Zhang J, Wu M, Huang Q, Wu Q, et al. Identification of serum biomarkers for colorectal cancer metastasis using a differential secretome approach. *J Proteome Res* **2010**; 9:545-55.
5. Makridakis M, Vlahou A. Secretome proteomics for discovery of cancer biomarkers. *J Proteomics* **2010**; 73:2291-305.
6. Pavlou MP, Diamandis EP. The cancer cell secretome: a good source for discovering biomarkers? *J Proteomics* **2010**; 73:1896-906.
7. Xue H, Lu B, Lai M. The cancer secretome: a reservoir of biomarkers. *J Transl Med* **2008**; 6:52.
8. Piersma SR, Fiedler U, Span S, Lingnau A, Pham TV, Hoffmann S, et al. Workflow comparison for label-free, quantitative secretome proteomics for cancer biomarker discovery: method evaluation, differential analysis, and verification in serum. *J Proteome Res* **2010**; 9:1913-22.
9. Bornsen KO. Influence of salts, buffers, detergents, solvents, and matrices on MALDI-MS protein analysis in complex mixtures. *Methods Mol Biol* **2000**; 146:387-404.
10. Maruyama M, Kobayashi N, Westerman KA, Sakaguchi M, Allain JE, Totsugawa T, et al. Establishment of a highly differentiated immortalized human cholangiocyte cell line with SV40T and hTERT. *Transplantation* **2004**; 77:446-51.
11. Mbeunkui F, Fodstad O, Pannell LK. Secretory protein enrichment and analysis: an optimized approach applied on cancer cell lines using 2D LC-MS/MS. *J Proteome Res* **2006**; 5:899-906.
12. Wu CC, Hsu CW, Chen CD, Yu CJ, Chang KP, Tai DI, et al. Candidate serological biomarkers for cancer identified from the secretomes of 23 cancer cell lines and the human protein atlas. *Mol Cell Proteomics* **2010**; 9:1100-17.
13. Lowry OH, Rosebrough NJ, Farr AL, Randall RJ. Protein measurement with the Folin phenol reagent. *J Biol Chem* **1951**; 193:265-75.

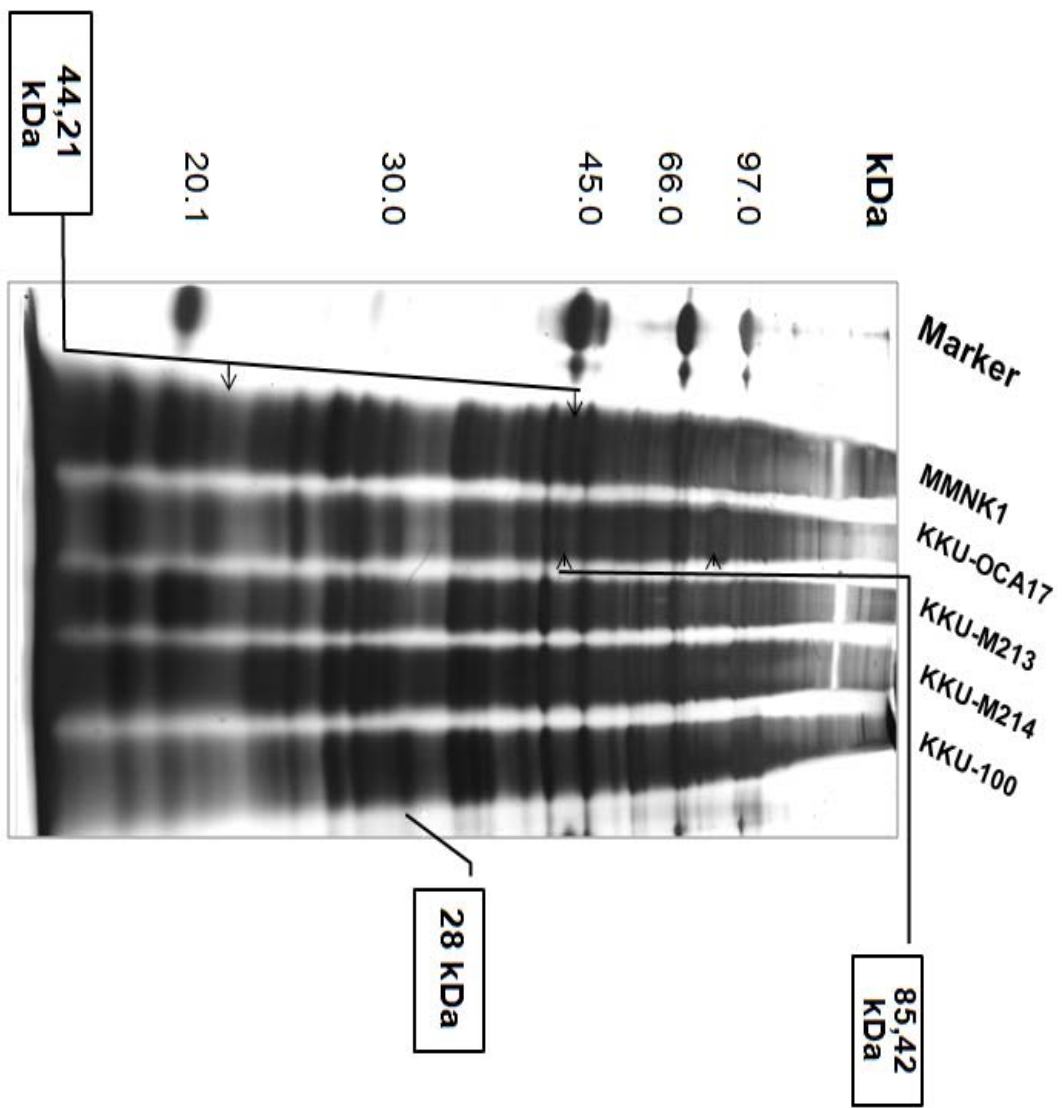


Figure 1 Comparative SDS-PAGE pattern of cell lines secretome. The fifty microgram of proteins from MMNK1, KKU-OCA17, KKU-M213, KKU-M214 and KKU-100 samples were loaded onto 12.5% SDS-PAGE and protein patterns were visualized by silver staining. The molecular markers are shown in kDa on the left, and arrows indicate the positions of the specific proteins differentiated.

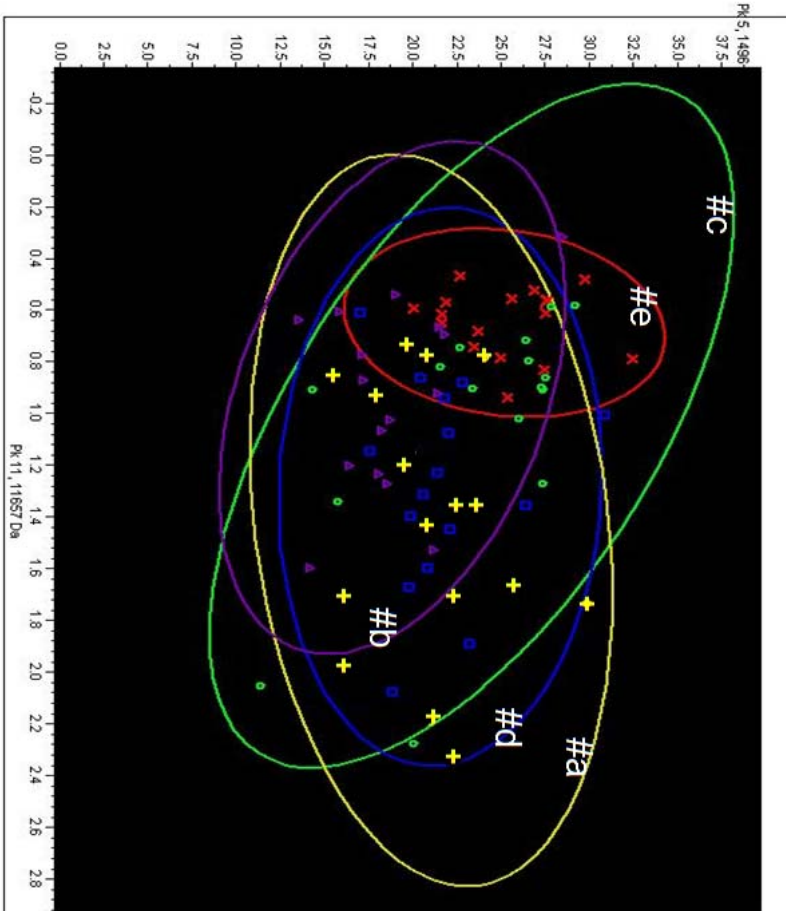


Figure 2 An overall secretome patterns calculated by ProClintool software. Circles indicate the area distribution of MMNK1, KKU-OCA17, KKU-M213, KKU-M214 and KKU-100 protein masses that indicated by #a, #b, #c, #d and #e, respectively.

PROTEOMIC IN CLINICAL RESEARCH

Lab: Cancer secretome analysis

**451741 Advanced Techniques in Medical
Science Laboratory**



**The Centre for Research and Development of Medical
Diagnostic Laboratories (CMDL); Cancer Research**

Faculty of Associated Medical Sciences, Khon Kaen University

Objectives

■ Explain basic knowledge of secretome analysis and apply these technique in other clinical research

Outlines

■ **Definition and consideration of cancer secretome**

■ **Cancer secretome methodology**

1. Cancer cell lines culture
2. Collection and preparation of cancer secretome samples
3. Proteomic analysis
 - Protein pre-separation by SDS-PAGE gel
 - Tryptic in gel digestion
 - Protein identification by Mass spectrometer
 - Protein validation

Definition and consideration

Definition and consideration

Cancer secretome : all proteins released by cancer cells

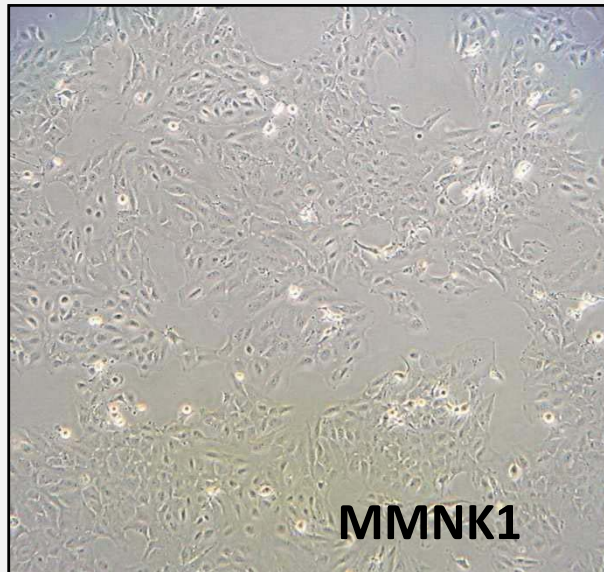
- These proteins play an important role in many essential physiological and pathophysiological processes such as cell growth and differentiation, invasion, and metastasis
- These cancer secreted proteins or their fragments always enter into circulation, plausible to measurable in the body fluids samples

Cancer secretome emerged to be a promising and reliable source of cancer biomarkers

Cancer secretome methodology

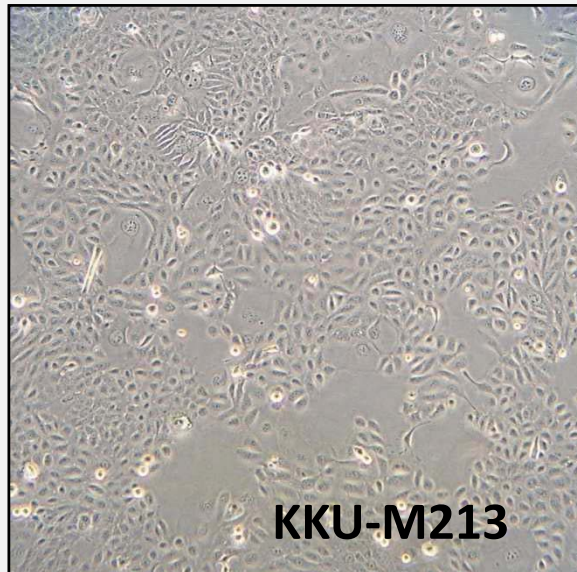
bioinformatics

Cancer cell lines culture



Normal control
: Immortalized cholangiocyte
cell line

Vs



Cancer
: Cholangiocarcinoma cell line

Cancer cell lines culture

Culture medium

1x Trypsin-EDTA

Steriled pipette

1x PBS

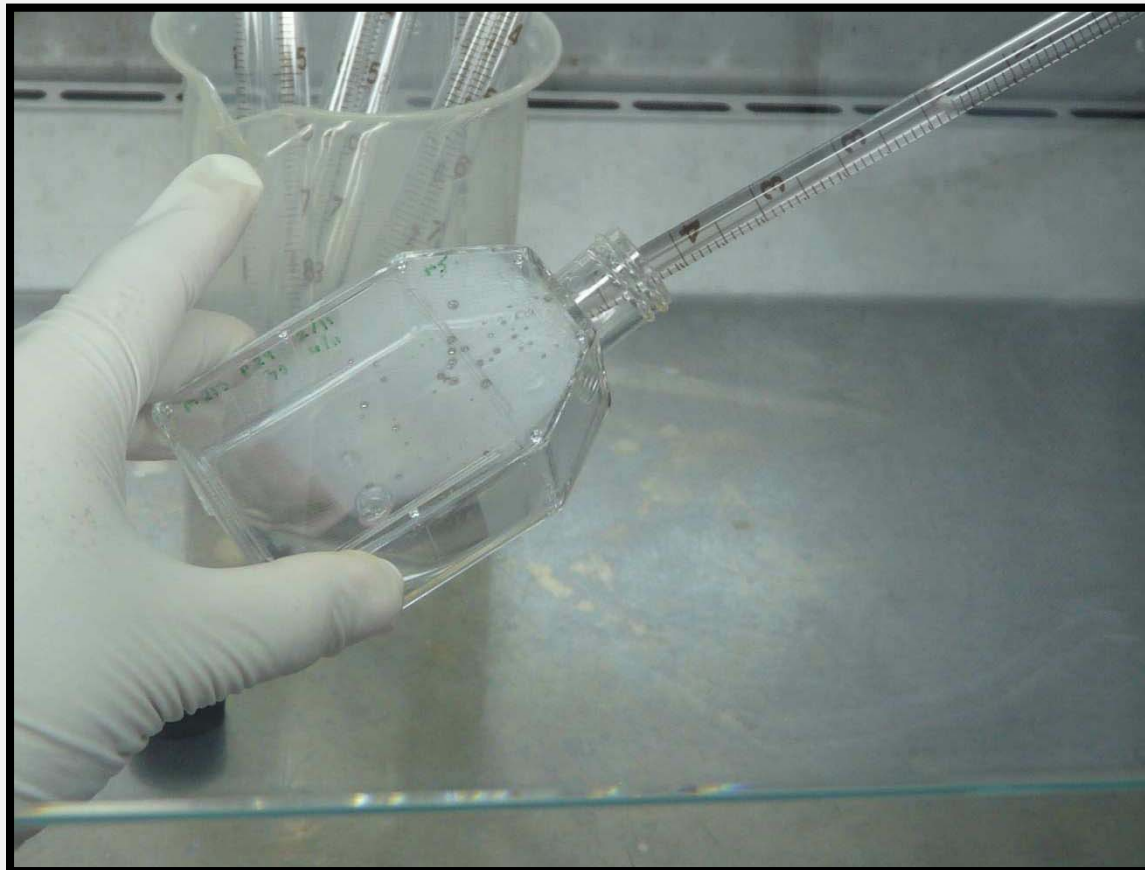


15 CM cell culture dish

Cancer cell lines culture

Step 1

- Wash cell with 1xPBS
- Trypsinize adherent cell with 1xTrypsin-EDTA



Cancer cell lines culture

Step 2

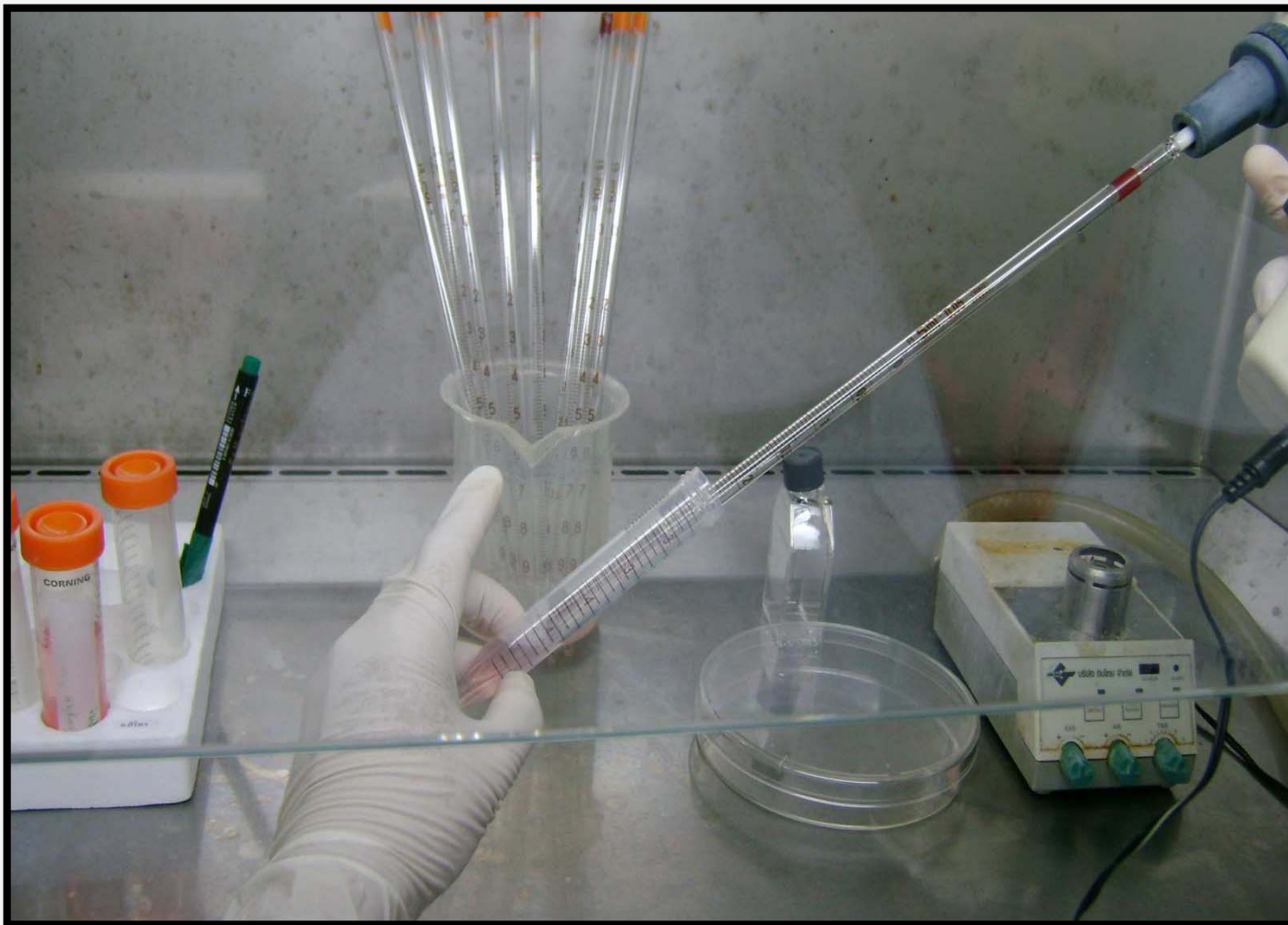
- Centrifuge re-suspend cell at 1,800 rpm for 2 min



Cancer cell lines culture

Step 3

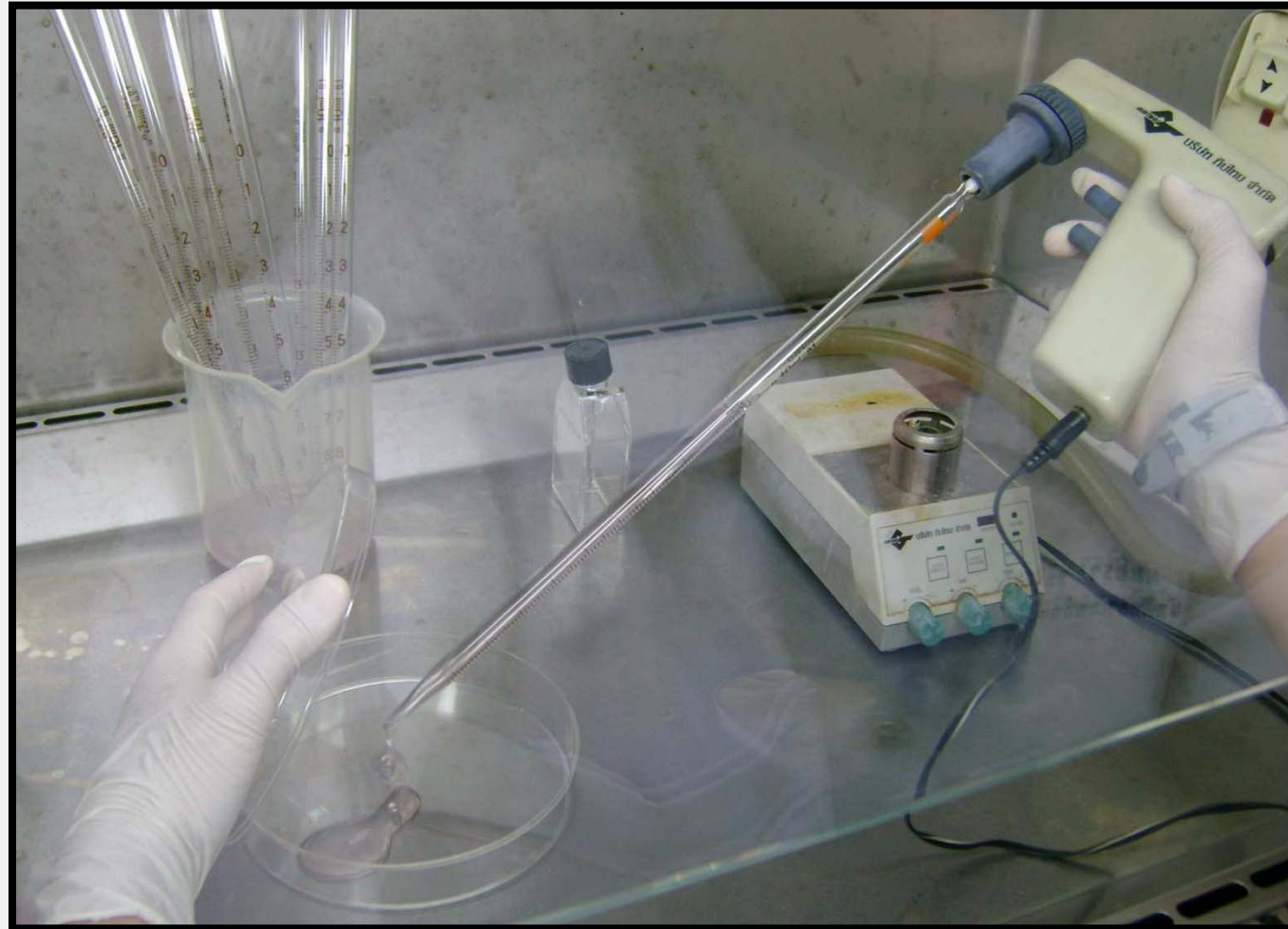
- Remove supernatant
- Re-suspend cell in culture medium



Cancer cell lines culture

Step 4

- Seed re-suspended cell onto 15 CM culture dish
- Add culture medium ~ 20 ml



Cancer cell lines culture

Step 5

- Incubate in CO₂ incubator ~ 2 days
(Cells were grown 60-70% confluence)



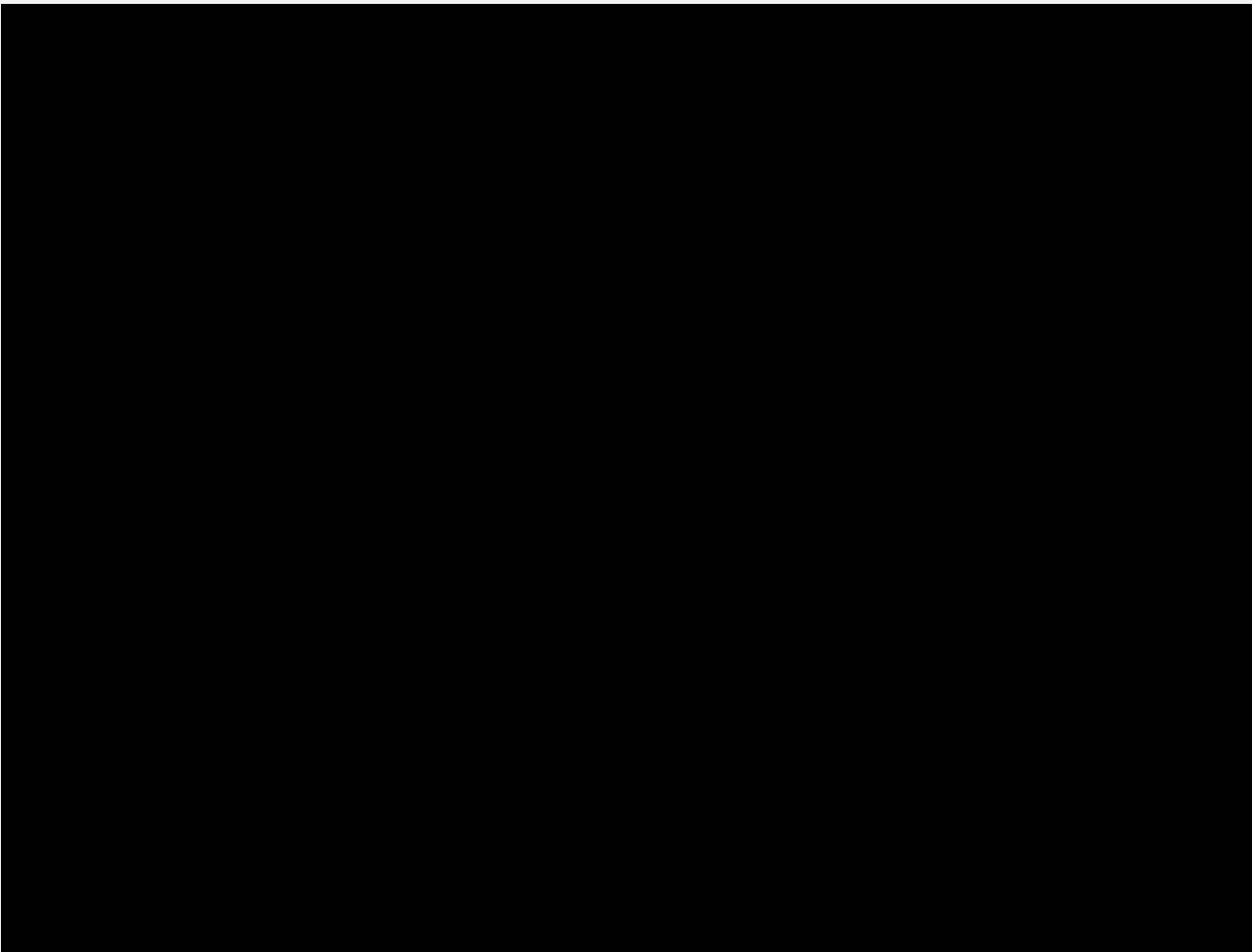
Incubator Condition

- ✓ 5% CO₂
- ✓ 95% air
- ✓ 37°C in a humidified atmosphere

Cancer cell lines culture

Step 6

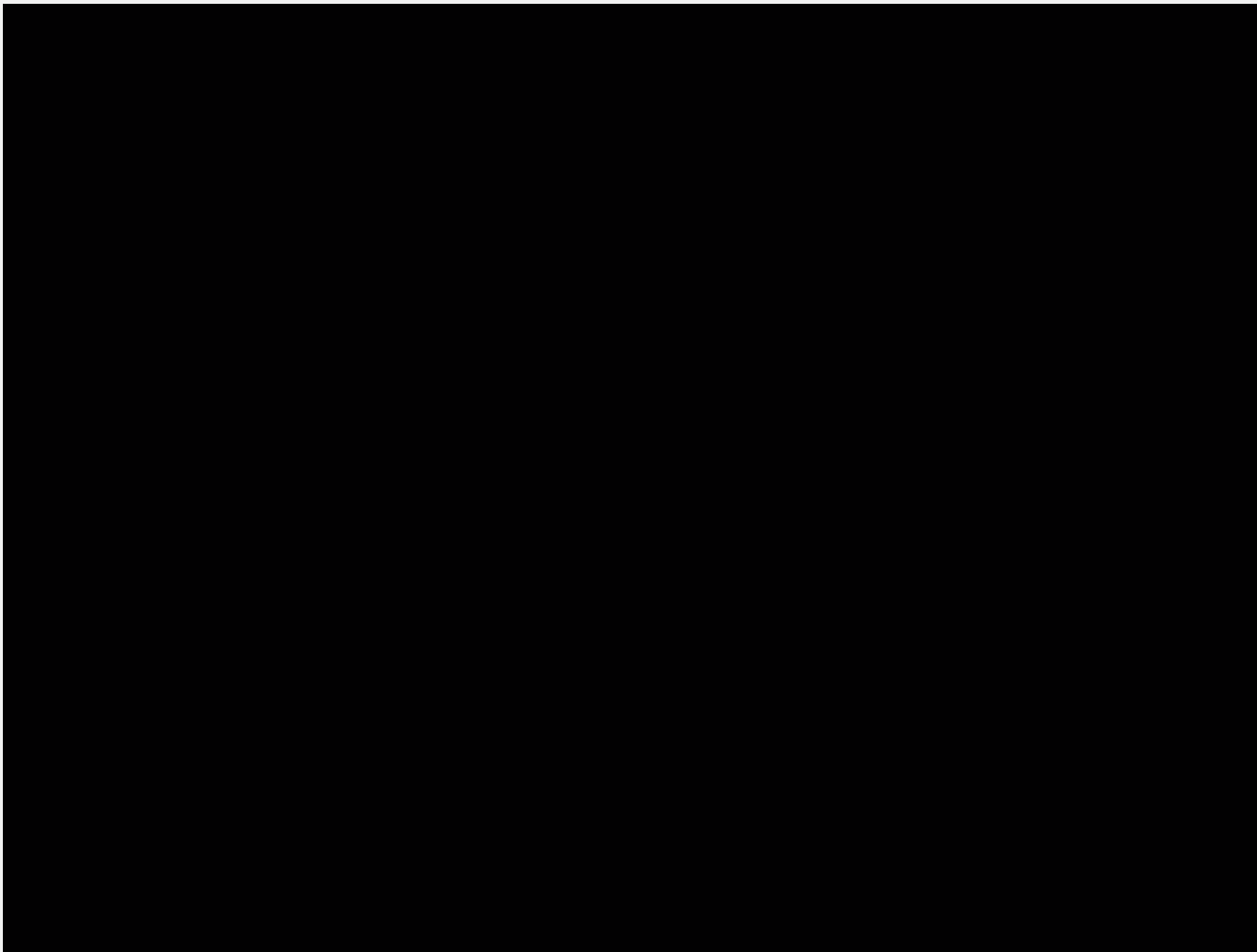
- When cells were grown 60-70% confluence
- Remove culture complete medium



Cancer cell lines culture

Step 7

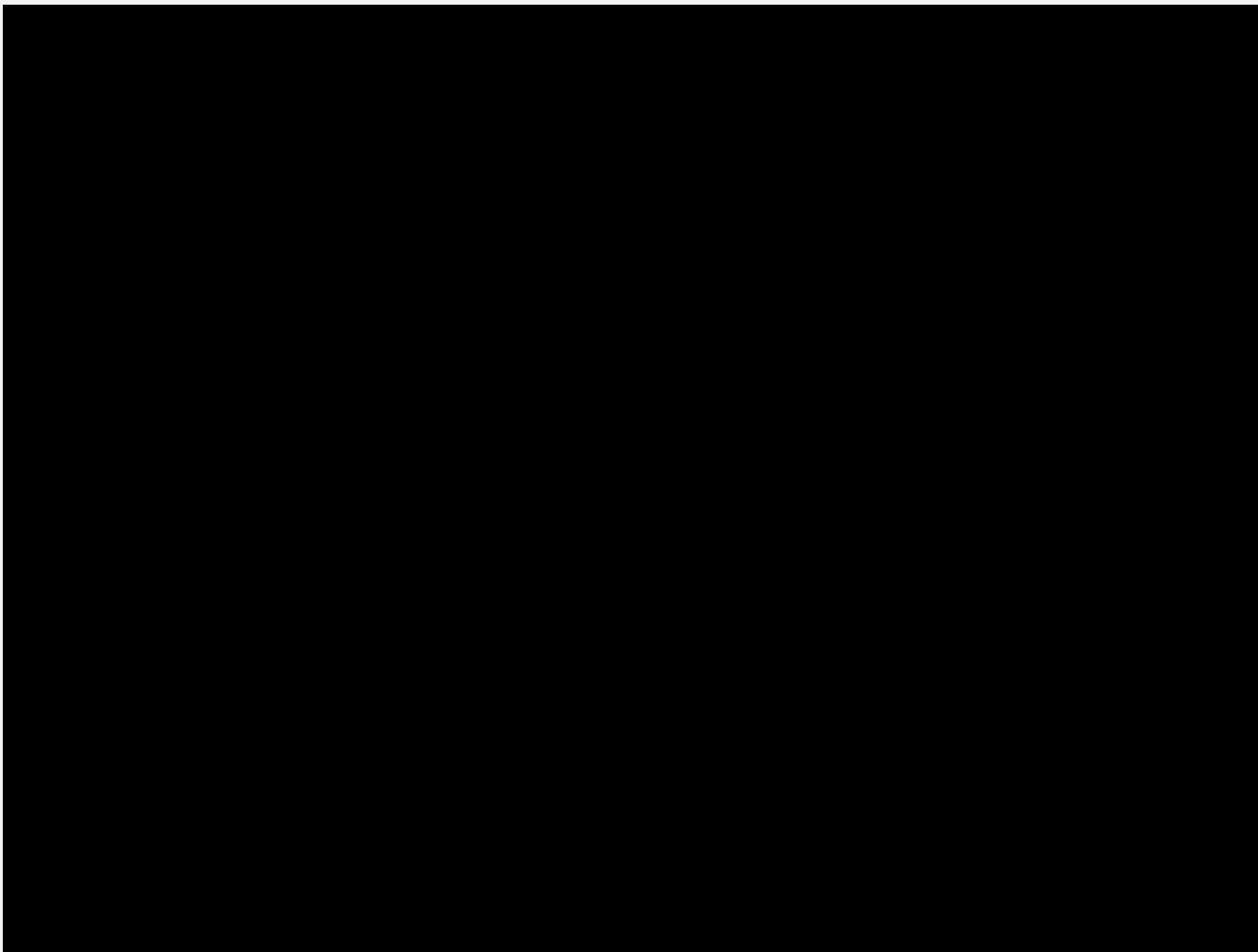
- Wash cell with 20 ml of 1xPBS (2 times)



Cancer cell lines culture

Step 8

- Wash cell with 20 ml of Serum-Free Medium (2 times)



Cancer cell lines culture

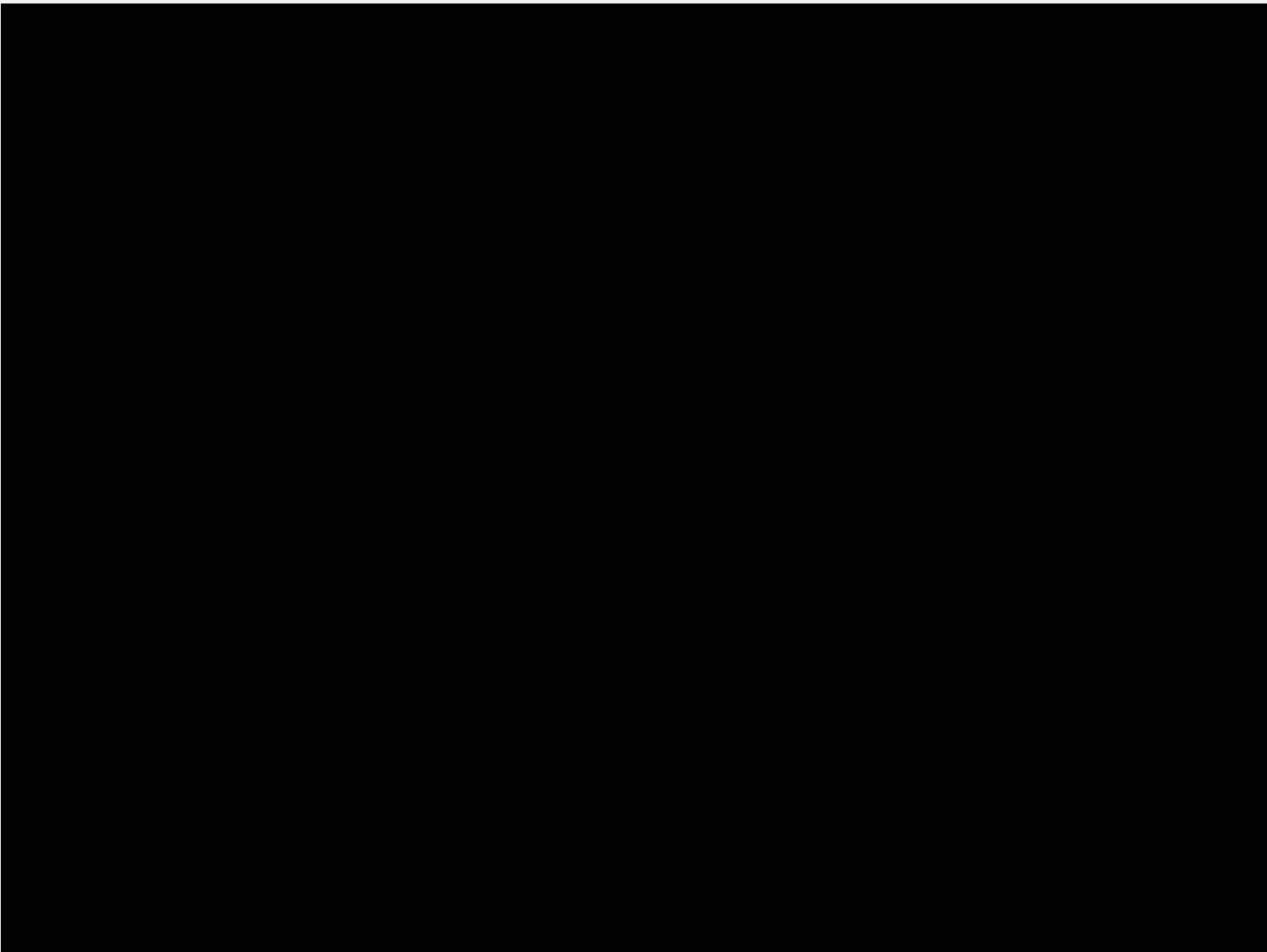
Step 9

- Add 12 ml of Serum-Free Medium
- Incubate for 24 hour

Collection and preparation of secretome samples

Step 10

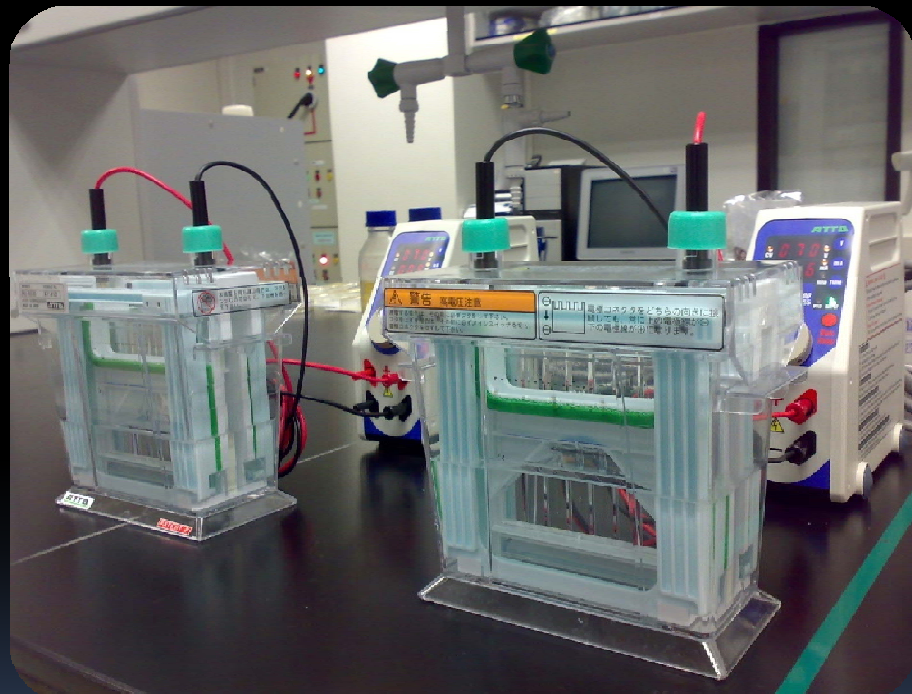
- Secretome samples collection (or conditioned medium ; CM)
- Secreted Protein Concentrate with Amicon Ultra-15 tubes



Proteomic analysis Biology of aging

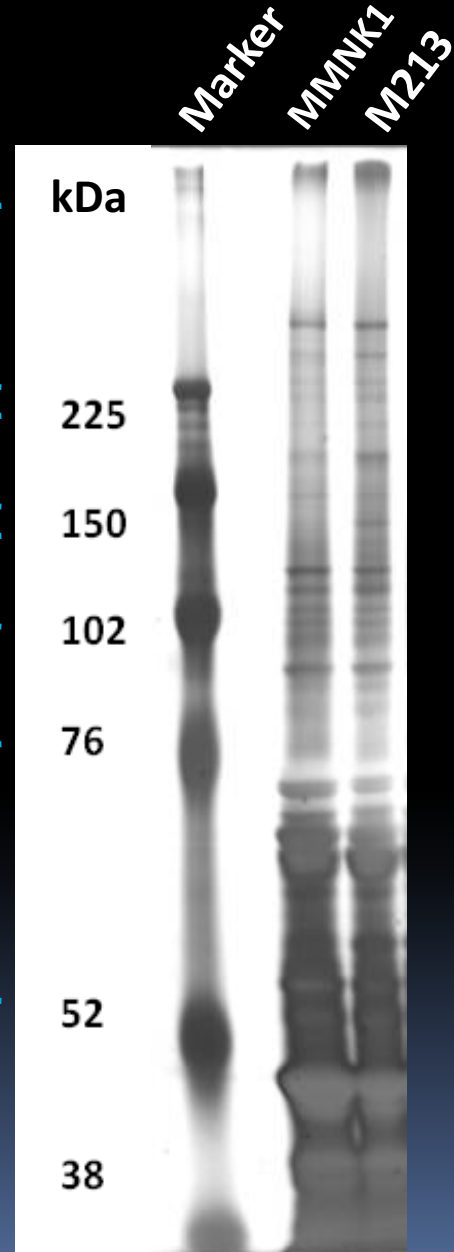
Protein Pre-separation by 15% SDS-PAGE gel

SDS-PAGE and silver stained



ATTO AE-6530 system

- 30 ug of proteins
- 15 % SDS-PAGE gel
- 70 volts for 5 h at RT
- The gel was stained with silver



Trypic In gel digestion

- ✓ Gels were cut into 6 ranges of marker
- ✓ Excised to 1x1 mm gel pieces
- ✓ The protein were reduced with DTT, alkylated with IAA and **digested with trypsin enzyme**
- ✓ The proteins were extracted



The tryptic peptide mixture was lyophilized and kept at -20°C



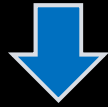
Protein identification

Proteins identification by Mass spectrometer

The tryptic peptide mixture was separated by using Liquid Chromatography

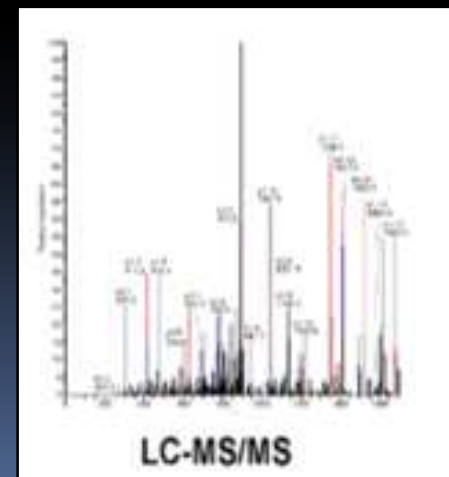


A Thermo Electron HPLC system is interfaced to the mass spectrometer for automated LC-MS/MS analyses



Peptide detection & Data-dependent MS/MS spectra were obtained simultaneously

MS/MS spectra

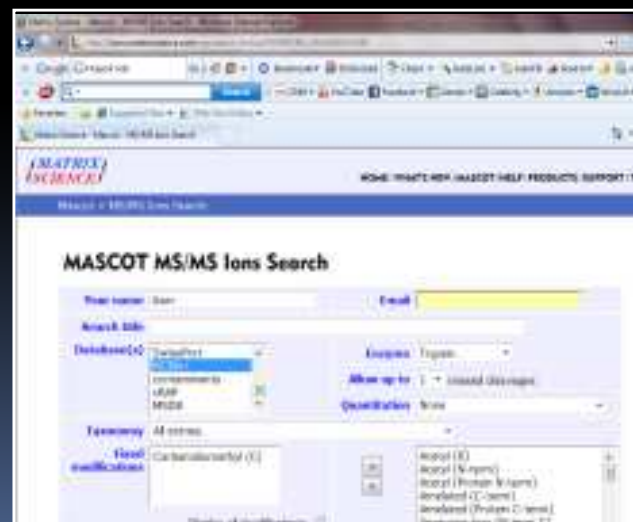
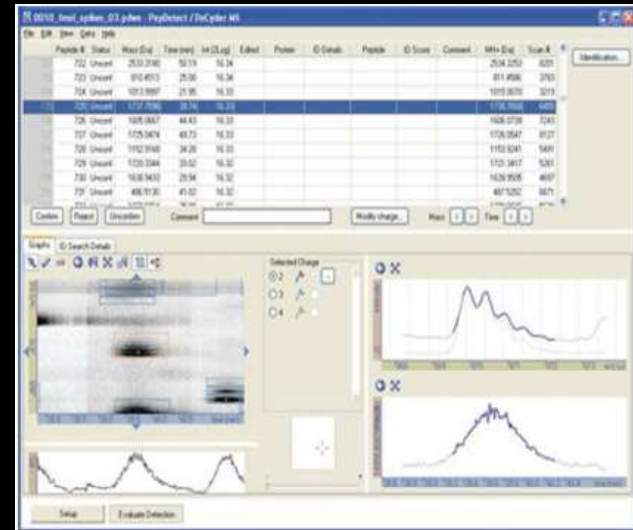


Proteins identification

Comparison and relative quantitation
of LC-MS/MS data among 2 samples using
DeCyder MS 2.0 Differential Analysis Software



Proteins identification
via MASCOT search



	Accession	Gene Symbol	Protein Name
5	P20962	PTMS	Parathymosin
6	O43837	IDH3B	Isocitrate dehydrogenase [NAD] subunit beta
7	P04792	HSPB1	Heat-shock protein beta-1 (HspB1)
8	P31153	MAT2A	S-adenosylmethionine synthetase isoform type-2
9	Q04695	KRT17	Keratin, type I cytoskeletal 17
10	P49720	PSMB3	Proteasome subunit beta type 3
11	P04083	ANXA1	Annexin A1
12	P30837	ALDH1B1	Aldehyde dehydrogenase X, mitochondrial precursor
13	P00918	CA2	Carbonic anhydrase 2
14	P02794	FTH1	Ferritin heavy chain
15	P16401	HIST1H1B	Histone H1.5 (Histone H1a)
16	Q04828	AKR1C1	Aldo-keto reductase family 1 member C1
17	P55072	VCP	Translational endoplasmic reticulum ATPase
18	O00244	ATOX1	Copper transport protein ATOX1
19	Q13283	G3BP1	Ras GTPase-activating protein-binding protein 1
20	P02795	MT2A	Metallothionein-2
21	P13928	ANXA8	Annexin A8
22	P06702	S100A9	Protein S100-A9
23	P19012	KRT15	Keratin, type I cytoskeletal 15
24	P59998	ARPC4	Actin-related protein 2/3 complex subunit 4
25	Q9Y376	CAB39	Calcium-binding protein 39
26	P25205	MCM3	DNA replication licensing factor MCM3
27	P47914	RPL29	60S ribosomal protein L29
28	Q15843	NEDD8	NEDD8 precursor
29	P49773	HINT1	Histidine triad nucleotide-binding protein 1
30	Q13177	PAK2	Serine/threonine-protein kinase PAK 2
31	P18085	ARF4	ADP-ribosylation factor 4
32	P17812	CTPS	CTP synthase 1
33	P61201	COPS2	COP9 signalosome complex subunit 2
34	P50454	SERPINH1	Serpin H1 precursor
35	P23229	ITGAR	Integrin alpha 6 precursor

Subsequent proteins validation

- ✓ Protein confirmation and expression pattern by Western blot analysis
- ✓ Evaluation of serum levels by ELISA in serum samples of patients compare with healthy serum



Cancer secretome based biomarker discovery

Acknowledgment

Advisor : Dr.Siriport Patrakitkomjorn

Thank you for your
attention

